

TRAKYA ÜNİVERSİTESİ
FEN BİLİMLERİ ENSTİTUŞO

T E R M O K R O M İ Z M

ÖZLEN KELEŞ

YÜKSEK LİSANS TEZİ

KİMYA ANABİLİM DALI

39078

TEZ YÖNETİCİSİ
Prof.Dr.Mehmet İŞCAN

EDİRNE - 1991

TRAKYA ÜNİVERSİTESİ
FEN BİLİMLERİ ENSTİTUŞO

TERMOKROMİZM

YÜKSEK LİSANS TEZİ
KİMYA ANABİLİM DALI

Bu tez 24 - 3 - 1991 tarihinde Aşağıdaki jüri tarafından kabul edilmiştir.

Prof. Dr. Mehmet İŞCAN

Danışman

M. L. M

Prof. Dr. Ulku Duyan

Oye

S. S. S.

Prof. Dr. Bedri Doğan Emir

Oye



ÖZET

Termokromizm bir bileşliğin ısıtıldığında yada soğutulduğunda ren-
ginde meydana gelen tersinir bir değişmedir.

Erime noktası cihazında bilesiklerin zamana karşı ısınma ve soğu-
ma sıcaklıklarının tayini ile elde edilen değerlerden yararlanılarak
 $\text{CoCl}_2 \cdot 6\text{H}_2\text{O}$, $[(\text{CH}_3\text{CH}_2)_2\text{NH}_2]_2\text{CoCl}_4$, Cu_2HgI_4 , Ag_2HgI_4 , $[\text{Co}(\text{NH}_3)_5\text{Cl}]_{\text{Cl}_2}$,
 $\text{Co}(\text{Py})_2\text{Cl}_2$ bilesiklerinin histeresis eğrileri çizilmesiyle termokromik
renk değişiminin alt ve üst sıcaklık sınırları bulunmuştur.

$\text{CoCl}_2 \cdot 6\text{H}_2\text{O}$, $[(\text{CH}_3\text{CH}_2)_2\text{NH}_2]_2\text{CuCl}_4$ ve Cu_2HgI_4 'ün UV spektrumları
alınarak $[\text{Co}(\text{H}_2\text{O})_6]^{+2}$ nin görünür bölge absorbsiyon bantlarından okta-
hedral ve tetrahedral alandaki ligand alan stabilizasyon enerjileri he-
sayanmıştır. $[(\text{CH}_3\text{CH}_2)_2\text{NH}_2]_2\text{CuCl}_4$ ve Cu_2HgI_4 görünür bölgede absor-
siyon bantı vermemiştirlerdir.

S U M M A R Y

Termochromism is the reversible change of the color of a compound when it is heated or cooled.

By utilizing the values which were obtained by determination of heating and cooling temperature of the compounds in certain times by melting point apparatus, we draw the hysteresis graphics of the compounds of $\text{CoCl}_2 \cdot 6\text{H}_2\text{O}$, $[(\text{CH}_3\text{CH}_2)_2\text{NH}_2]_2\text{CuCl}_4$, Cu_2HgI_4 , Ag_2HgI_4 , $[\text{Co}(\text{NH}_3)_5\text{Cl}]^{\pm 2}$, $\text{Co}(\text{Py})_2\text{Cl}_2$.

The ligand field stabilization energies of $\text{CoCl}_2 \cdot 6\text{H}_2\text{O}$, $[(\text{CH}_3\text{CH}_2)_2\text{NH}_2]_2\text{CuCl}_4$, Cu_2HgI_4 and $[\text{Co}(\text{H}_2\text{O})_6]^{\pm 2}$ in octahedral and tetrahedral field were calculated by using UV-visible region. The compounds of $[(\text{CH}_3\text{CH}_2)_2\text{NH}_2]_2\text{CuCl}_4$ and Cu_2HgI_4 gave no absorption band there.

TEŞEKKUR

Bana kendisi ile böyle bir çalışma olanağı tanıyan ve bu çalışmanın gerçekleştirilmesinde büyük yardımı ve rehberliğini esirgemeyen sayın Hocam Prof.Dr.Mehmet İŞCAN'a en derin saygı ve şükranlarımı sunarım.

Çalışmalarımı her zaman destekleyen Bölüm Başkanımız Sayın Prof.Dr. İlkü OYMAN'a ve Araştırma Görevlisi arkadaşlarına teşekkür ederim.

IÇİNDEKİLER

	Sayfa
ÖZET	I
SUMMARY	II
TEŞEKKÜR	III
BÖLÜM 1	
GİRİŞ	1
BÖLÜM 2	
KURAMSAL TEMELLER VE KAYNAKLAR ARAŞTIRMASI	3
2.1. TERMOKROMİZM GÖSTEREN KATILAR	3
2.2. TERMOKROMİZM GÖSTEREN ÇÖZELTİLER	7
2.3. TERMOKROMİZM GÖSTEREN ORGANOMETALİK BİLEŞİKLER	10
2.4. LİGAND ALAN TEORİSİ	11
BÖLÜM 3	
MATERYAL VE METOD	26
3.1. KULLANILAN MADDELER	26
3.2. KULLANILAN ALETLER	28
3.3. DENEYLER	29
BÖLÜM 4	
DENEYLERİN SONUÇLARI	33
BÖLÜM 5	
TARTIŞMA	62
KAYNAKLAR	69

BÖLÜM 1

GİRİŞ

Termokromizm bir bileşigin ısıtıldığında ya da soğutulduğunda ren-
ginde meydana gelen tersinir değişmedir. Termokromik renk değişmesi küçük
sıcaklık aralığında çok belirgin bir şekilde ortaya çıkar. Anorganik bile-
şikler için bu geçişin kristal fazındaki bir değişim, ligand geometrisin-
deki bir değişim (R.D.Willett, vd, 1974; S.A.Roberts, vd, 1980) ya da koor-
dinasyon bileşiginin içerisinde bulunduğu çözücünün molekül sayısındaki
bir değişmeden (N.S.Gill ve R.S.Nyholm, 1959) ileri geldiği söylenir. Ayrı-
ca çözeltideki kompleksler arasındaki dengenin ya da organometalik bile-
şik halinde farklı moleküller yapılar arasındaki dengenin termokromik geçi-
şesi sebep olduğu bilinir. (R.D.Gillard ve G.Wilkinson, 1960; W.E.Hatfield,
vd, 1963) Saf bir maddenin termokromik geçiş sıcaklığı, bileşiği bir katı
matriks içerisinde dağıtmakla yada diğer maddelerle karıştırmak suretiyle
büyük ölçüde dağıtılabılır (Ketellar, 1931, 1934, 1935, 1938). Genellikle bu
iş için kullanılan matriksler metil metakrilat gibi polimerler, parafin
mumu, boyalı ve lakklardır. Katı matriks halinde bir histeresis etkisi mevcut-
tur (S.A.Roberts, vd, 1981; R.D.Willett, vd, 1974; R.L.Marlow, vd, 1974;
J.H.Day, 1968; D.R.Björkquist ve R.D.Willett, 1982). Bu etki ısıtılmış
olan maddenin soğutulmasında termokromik geçişin daha düşük sıcaklıklarda
ortaya çıkışını ile kendini gösterir. Bazı bilesiklerin göstermiş olduğu irrever-
sible renk geçişleri bileşigin ısıyla bozunmasından kaynaklanır. Bu tip
bilesiklere örnek olarak kloropentamin kobalt (III) klorür verilebilir
(Z.Cimple, vd, 1965).

Termokromizmin ilk sistematik incelemesinde Houston (1871) bir bunsen alevinde bakır şeritler üzerinde katıları ısıtarak denemeler yapmış ve tamamen tersinir renk değişimi veren bileşikleri incelemiştir. Bu denemeler sonucunda kırmızı bakır ferro siyanür, antimon sülfit, demir oksit, ci-va sülfür, kurşun kromat, kurşun oksit ve potasyum dikromat siyaha; turuncu arsenik sülfür, civa oksit, kurşun iyodür kırmızıyla; sarı civa sülfat, bar-yum kromat, kalay sülfür turuncuya dönüştürülmüştür.

Houston aynı zamanda soğutulduğlarında katı bileşiklerin renkleri üzerindeki etkiyi yani soğuma etkisini elde etmek için deneyler yapmıştır. Bu deneylerde numuneyi kağıt üzerine sıvayarak onlardan bantlar kesmiş ve hemen yakınında eter gibi uçucu bir maddeyi buharlaştırmıştır. Numuneler üzerinde yoğunlaşan nemin mümkün olan etkilerini kabul ederek sonuçta kırmızı civa sülfürün parlak kırmızıyla, kalay sülfürün çok açık sarıya, civa sülfatın sarıdan yeşile, kurşun iyodürün turuncudan çok açık turuncuya ve kurşun kromatın sarı-turuncudan sarı-yeşile dönüşüğünü bulmuştur.

Bu çalışmalarda ise kobalt ve bakırın basit ve kompleks bileşiklerinin göstermiş olduğu termokromik geçişler incelenmiştir.

BÖLÜM 2

KURAMSAL TEMELLER VE KAYNAKLAR ARAŞTIRMASI

Termokromizm gösteren inorganik bileşikleri katılar, çözeltiler ve organometalik bileşikler şeklinde sınıflandırmak mümkündür.

2.1. KATILAR

Genel olarak katıları dört grupta inceleyebiliriz.

a- Metaller

b- Krom bileşikleri

c- Civa bileşikleri

d- Diğer katılar

2.1.1. Metaller

Bakır, gümüş ve altının reflektans spektrumlarının sıcaklıkla bağlılıkları incelendiğinde gümüş gibi kısa dalga boylu absorbsiyon bantında $ns-np$ geçisi, bakır gibi daha uzun dalga boylu absorbsiyon bantında $[(n-1) d^{10}ns]$ - $[(n-1) d^9ns^2]$ elektronik geçişleri görülür. (A. Klopfer ve G.Joos, 1954) Uzun dalga boyundaki elektronik geçişlerde görülen yüksek sıcaklıktaki absorbsiyonun lineer artışı örgü titresimlerine bağlıdır.

β - pırınc tipi alaşımalar sıcaklık ile tersinir renk değişimi gösterirler. Renk değişimleri birinci derecede gerek faz yapısının düzensizliğine gerekse oksit oluşumuna bağlı değildir. Cu, Ag ve Au için verilen renk geçişleri Tablo 2-1 dedir.

Tablo 2-1. Cu, Ag ve Au İÇİN VERİLEN RENK GEÇİŞLERİ.

Alaşımalar	Geçiş Sıcaklıklarları ($^{\circ}$ C)	
	-195 $^{\circ}$ C	25 $^{\circ}$ C
Bakır - Çinko	Sarı	Altın Sarısı
Gümüş - Çinko	Sarı	Pembe
Altın - Çinko	Kırmızı	Mor
Gümüş - Kadmiyum	Kırmızı	Menekşe
Altın - Kadmiyum	Altın Sarısı	Altın Sarısı

300 $^{\circ}$ C civarında β -bakır-çinko alaşımaları kırmızı, diğer alaşımaların hepsi gridir. Sıcaklık ile renk değişimleri ani bir olaydır.

2.1.2. Krom Bileşikleri

Üç değerlikli krom iyonu içeren katılarda sıcaklık değişimi ve basıncın değişimi ile renk geçisi olur. Sıcaklık arttıkça kırmızıdan menekşe rengine, yeşile termokromik renk geçişleri meydana gelir. Teoride ve paramanyetik rezonans spektroskopisi, krom iyonunun oktaedral yada yarı oktaedral kristal ağına yerleştiğini ve renk geçişlerinin komşu merkez iyonlara olan mesafesine bağlı olduğunu gösterir. Si, Be, S ve Hg gibi (A.Neuhaus ve W.Richartz, 1958).

α -Al₂O₃ ve Cr₂O₃'ün karışım kristalleri %8 oranında Cr atomuna bağlı olarak oda sıcaklığında kırmızı, %8'in yukarısında yeşildir (E.Thilo, vd, 1950). Örgü sabitleri %8 oranındaki Cr'a kadar değişmez, %8'e kadar yoğunluk lineer olarak artar, magnetik suseptibilite hızla düşer. Termokromik özellikler krom miktarı ile değişir. %58 oranında Cr için 90 $^{\circ}$ K; %8 oranında Cr için 460 $^{\circ}$ K ve %2 oranında Cr için 650 $^{\circ}$ K de renk geçisi vardır.

2.1.3. Cıva Bileşikleri

Tablo 2-2. TERMOKROMİK CİVA BİLEŞİKLERİ

<u>Bileşik</u>	<u>Geçiş Sıcaklığı (°C)</u>	<u>İşıyla renk değişimi</u>
Hg I ₂	127; 150	Kırmızı → Sarı
Ag I	147	Sarı → Kırmızı → Kahverengi
Ag ₂ Hg I ₄	50.7	Sarı → Turuncu
Cu ₂ Hg I ₄	66.6 ; 67	Kırmızı → Koyu mor
	25 ; 85	Kırmızı → Siyah
	69.5 ; 70	Kırmızı → Kahverengi
	71	Kırmızı → Siyah
Lucite içinde	70	Sarı → Turuncu → Kırmızı
Ag ₂ Hg I ₄ (%34)		
Cu ₂ Hg I ₄ (%60)		
(%43)Cu ₂ Hg I ₄ ve	34.2	Turuncu → Kırmızı
Ag ₂ Hg I ₄ eriyikleri	116.5	Turuncu → Kırmızı
Tl ₂ Hg I ₄		
HgBr ₂ ile HgS		Kırmızı → Sarı → Pembe

Ketellerin çalışmalarında (1931, 1934, 1935, 1938) Cu₂Hg I₄'ve Ag₂HgI₄'ün her ikisinin β şekilleri tetragonal α şekilleri ise kübiktir. Gümüş ve Cıva örgü noktalarını işgal etmişler fakat hepsine yerleşmemiştir. Gümüş iyonları cıva iyonlarından daha hareketlidir. 50,7 ± 0,2 de β şekeiten α şecline faz geçişleri vardır. 40°C civarında elektriksel geçirgenlik hızla artmaya başlar.

Sıcaklığa karşı duyarlı dalga boyundaki absorbsiyon numunenin daki-

kada 5°C hızla ısıtılması ile kaydedilir. Buna göre Ag_2HgI_4 $25-55^{\circ}\text{C}$ arasında sarıdan turuncuya, Cu_2HgI_4 $25-85^{\circ}\text{C}$ arasında kırmızıdan siyaha döner. AgI için renk değişimi sıcaklığı ise 147°C dir.

Suchow ve Keck (1953), Ag_2HgI_4 ve Cu_2HgI_4 ün katı çözeltilerini hazırlamışlardır. Yaptıkları deneylerde toz haline getirilen numuneleri silikon-lak ile cam kaba koymuşlar ve bir ısıtma bloğu üzerinde ısıtmışlardır. Isıtma sonucunda Ag_2HgI_4 sarıdan turuncuya, Cu_2HgI_4 kırmızıdan koyu kırmızı-mora renk değiştirmiştir.

Gallaiste (1938) Ag_2HgI_4 , Cu_2HgI_4 ve Tl_2HgI_4 ün hazırlamış magnetik ölçümelerle termokromik özelliklerini kaydetmiştir. Gallaisin çalışmalarında bakır tuzu tersinir olarak renk değiştirmiş, 50°C in altında kırmızı sonra kahverengi 70°C civarında siyaha yakın olmustur. Lucite 46 denilen bir bağlayıcıyla %60,1 Ag_2HgI_4 ve %33,9 Cu_2HgI_4 karışımı oda sıcaklığında sarı-turuncu, 70°C de kızıl kırmızıdır. Oda sıcaklığına soğutulduğunda kırmızıda kalır 10°C te orijinal rengine döner. Tek başına Cu_2HgI_4 70°C civarında kırmızıdan koyu kahverengi-siyaha döner, sıcaklık 58°C a düşürüldüğünde orijinal rengine döner. Yine tek başına Ag_2HgI_4 45°C te sarı 47°C te turuncu olur.

Civa bromür-Civa sülfür (2:1 ; 1:1 ; 1:2) karışımıları kırmızıdır. Isıtıldıklarında sarı yada pembe dönerler. İyot-sülfür karışımılarında (1:2 ; 2:1) kırmızıdan turuncuya giden bir renk değişimi verirler (R.Harries, 1961).

2.1.4. Diğer Katılar

Tetrafloro etilen polimerindeki kadmiyum sülfoselonit 250 ve 400 $^{\circ}\text{F}$ sıcaklık aralığında koyu kahverengiden siyaha döner.

Tablo 2-3. Metal halojenürler için verilen renk geçişleri.

<u>Metal</u>	<u>Halogen</u>	<u>Oda sıcaklığında Soguma</u>	<u>Sıcaklık ile (°C) renk kaydı</u>
Cu	Br	Gri - Mavi	Yeşil >350
Fe	Cl	Mor — Pembe	Gri >115
Fe	Br	Parlak	Gri-Kahverengi >190
Ni	Br	Altın Sarısı — Kahverengi	Yeşil 190 dan aşağı
Ni	I	Koyu Gri — Kahverengi	Yeşil 190 dan aşağı

Topazın empirik formülü $Al_2F_2SiO_4$ tür. Florürlerin bazıları hidrosillerle yer değiştirerek değişik bir karışım verirler. Topazın rengi 400 den $750^{\circ}F$ ye ısıtıldığında tamamen kaybolur. (A.C.Diclinson ve W.J.Moore, 1967).

Bor asitler, $Me_3B_7O_{13}X$, Me iki değerlikli metaldir. Burada X termokromiktir. Fikir vermek üzere termokromik geçiş mekanizması yoktur (H. Schmid, 1965).

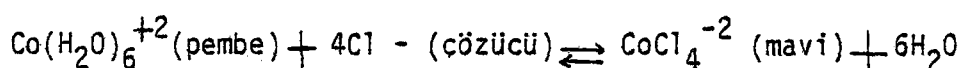
2.2.1 ÇÖZELTİLER

2.2.1. Kobalt ve Ağır Metallerin Çözeltileri

Co(II) bileşiklerinin çözeltilerinin renk değişimleri en eski problemdir. Yapılan en son çalışmalarla (W.C.Nieuwpoort, vd, 1966) metanol, etanol, 1-propanol, 2-propanol, aseton ve su içindeki $CoCl_2$ çözeltilerinin farklı sıcaklıklarda spektrumları incelenmiştir. Spektrum 6500A^0 da kuvvetli, 5500 A^0 da zayıf bir bant gösterir. Birinci bant sıcaklık ve çözücüye karşı duyarlıdır. Bu hassasiyet 2-propanol ve aseton içinde çok kuvvetlidir, termokromik etkiyi halojen iyonu ve ligantın cinsi belirler. Yüksek sıcaklıkta çözeltiler mavi, sıcaklık 25°C ten -80°C te düştüğünde pembe olur. NMR spektrumu ile katı hal spektrumu karşılaştırıl-

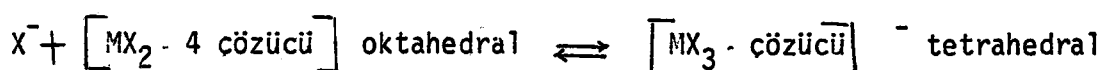
dığında mavi renk, tetrahedrallerle çevrili Co iyonu ile ilgilidir. Soğumaya renk değişimi, çözücü ve negatif iyonların bulunduğu oktaedral olarak organize olmuş solvatasyon tarafına denge konsantrasyonunun kaymasıyla meydana gelir.

Gill ve Nyholm sıcaklığın artmasıyla meydana gelen mavi - yeşil renge gözlemişler ve bunu şu denklemle göstermişlerdir.



Burada klor iyonu solvatasyonundaki azalmadan dolayı renk değişimi meydana geliyor (N.S.Gill ve R.S.Nyholm, 1959).

$[(\text{C}_6\text{H}_5)_4\text{As}]_2\text{MX}_4$ ve $[(\text{C}_2\text{H}_5)_4\text{N}]^+\text{MX}_4^-$ 'ün susuz tuzları ve su içindeki CoCl_2 , klor iyonları katılması ile oktaedral yapıyı verirler, ısıtmayla renk mavi olur ve yapı tetrahedrale dönüşür (D.E.Scaife ve K.P.Wood, 1967).



700 m μ luk bölge içinde optikçe yoğunluk oda sıcaklığından 70°C ya da 80°C e yaklaşık olarak 40°C aralığında sekiz kat artar.

Hekzafenildikursun ve hekzan içinde hekzasiklohekzildikursunun UV spektrumu -20°C ve 60°C te Beer yasasına uyar. Bunların termokromik davranışları, molekülleri ve serbest radikalleri arasındaki dengeye bağlı değildir (W.Drenth, vd, 1964).

Sıvı VOCl_3 kurutulduğunda içinde çok az su olmasından dolayı sarı -70°C te parlak kırmızıdır. Eğer su olmazsa termokromizm olmaz (F.A.Miller ve W.B.White, 1957).

Uranyum tuzları ile bazı toryum tuzlarının hidrolizi ile oluşan karışımında termokromik etki bulunmuştur. UO_2Cl_2 $200^{\circ}C$ te sabittir.

2.2.2. Bakır-Bromür Sistemi

Faye (1966) HBr içeren aseton çözeltisi içinde bakır (II) iyonu ve brom iyonu sistemi ile çalışmıştır. Bakır/Bromür'ün birden büyük oranlarında brom iyonu tarafından bakır(II) nin bakır (I) e indirgenmesi ancak yarı kantitatif çalışma ile mümkündür. Faye var olan türleri şu şekilde kaydetmiştir.

$\left[CuCr(OH)_3 \text{ (aseton)}_2 \right]^+$; $835 \text{ m}\mu$ civarında d-d bantı var, oktahedron yapı bozulmuştur.

$\left[CuBr_{2-4} \text{ (aseton)}_2 \right]^{0,1-0,2}$; $845 - 900 \text{ m}\mu$ civarında d-d bantı var, yeşil oktahedron yapı bozulmuştur.

$CuBr_4^-$; $1190 \text{ m}\mu$ civarında d-d bantı var, mor tetrahedron yapı bozulmuştur.

Barnes ve Hume (1963) önceleri $\left[CuBr_3^- \text{ (aseton)}_2 \right]$ içeren yeşil çözeltiyi bulmuşlar daha sonra beş yada altı iyon içeren komplekslerle çalışmışlardır.

Sisteme fazla brom iyonu katılmasıyla ortaya çıkan etki sisteminin ısıtılmasıyla ortaya çıkan etkiye benzer, sisteme elementel bromun katılması sorun çıkarmamıştır (C.Furlani ve G.Mopurgo, 1963).

Bakır (II) bromür sisteminde çözücünün oynadığı rol ilginçtir. Polivinil asetat polimer filmi kısmen hidroliz edilerek dağıtilır. Film kuru iken karadır fakat bir üflemeyle berraklaşır ve filmin üstünde bir kısım nemlenerek geçirgen hale gelir. Çözücü molekülde (aseton) olduğu gibi asetat grupları bakır için bağlayıcı olur. Sıcaklık ile filmin koyulması

artar, çözücü kaybı olur (J.Goodman, vd, 1966).

Bakır-Bromür çözeltilerinin koyulaşması, 100°C teki absorbansın oda sıcaklığındaki absorbansa oranı şeklinde ifade edilir. Dimetil sülfovksit çözücüsü için 4,4 gibi büyük bir değer bulunmuştur (J.Goodman, vd, 1967).

Cu, Ag, Hg, Au, Co, Fe, Ni ve Mn halojenürlerle yapılan çalışmalar- da halojene ilave edilen ikinci metalin hassasiyeti artar. Gerçek deneysel çalışmalar daha çok CuCl ve CuBr ile yapılmıştır. CuCl ve CuBr ışığa maruz kaldığında saniyeden daha az bir zamanda tersinir olarak koyulaşır. Sıcaklık ile geçişler söyledir. Sıcaklık 25°C ten 77°C e çıktığında geçiş %0,9 ile 22 ; 25°C ten 63°C e çıktığında %59 ile 76 ; 25°C ten 62°C e çıktığında %3 ile 26 arasındadır (C.G.Macarovici ve M.Macarovici, 1957 ; A.M. Marks ve M.M.Marks, 1965 ; A.M.Marks ve M.M.Marks 1966).

2.3. ORGANOMETALİK BİLEŞIKLER

Bakır bistrifloroesetilasetonatının kristal kompleksi koyu maviye benzeyen kurşun rengindedir, ısıtıldığında koyu yeşil olur, kompleks termokromizm gösterir. Özellikle ksilen, benzen yada klor benzen içindeki çözeltilerinin ısıtılmasıyla tersinir renk değişimi verir. Saks mavi soğuk çözeltiler ısıtıldığında yeşile döner (R.D.Gillard ve G.Wilkinson, 1963). Aynı değişimler bisasetilasetonatbakır(II) içinde geçerlidir.

Bis (*N,N*-dietylendiamin) bakır(II) nin perkloratı 44°C te mavi, oda sıcaklığında tuğla kırmızısı olur. 17 değişik anyonla yapılan çalışmalarında yalnızca perkloratın termokromik olduğu bulunmuştur. Etil gruplarının yönelmesindeki değişime yada halka içindeki konformasyonel değişikliğe azot atomları etki edebilir. Bu yüzden ligand alanında değişme daha fazladır bu da termokromizme neden olur (W.E.Hatfield, vd, 1963).

Daha önce yapılan çalışmalarında P -dihidroksi-bis (N,N-dietil-N'-metilendiamin) bakır (II) perkloratın renginin oda sıcaklığında mavi, -100 ve -120°C de kırmızı olduğu bulunmuştur (P.Pfeiffer ve H.Glezer, 1938).

Soloway ve Miesin (1960) deneylerinde o-kloro anilin ve n-propil gallat, artan sıcaklıkla sarıdan maviye keskin bir termokromik geçiş gösterirler. Geçiş sıcaklığı konsantrasyonun ve yapının bir fonksiyonudur.

Difenil karbazon ile uranil tuzlarının alkolik çözeltileri yada 1,5-difenil karbohidrazit renksizdir fakat düşük sıcaklıkta kırmızı olur. Civa iyodürün su karışımı ve difenil karbazin benzer şekildedir (Y.Hirshberg, 1959).

Monosiklopentadieniltitanyum dikloritin viole rengindeki katısı, katı haldeki monosiklopentadieniltitanyum dikloritin mor rengi akrilo nitril içinde açık mavi, -44°C de yeşil, -78°C de sarı olur (P.D.Bartlett ve B.Seidel, 1961).

2.4. LİGAND ALAN TEORİSİ

Teorinin esası, bir kompleksin elektriksel dipollerle çevrili bir merkez iyonu olduğu hipotezine dayanır. Merkez iyonu ile dipoller veya ligand iyonları arasındaki kuvvetler ilk önce elektrostatik olarak kabul edilebilirler. Merkez iyonu anyonlar tarafından çevrildiğinde, katyon alanı anyonları polarize eder ve anyonların kombine edilmiş alanı katyona etkiler.

Geçiş metallerinin ligand alan teorisinde önemli rol oynayan d-orbitalleri çift fonksiyonluluk gösterirler. Geçiş metal katyonlarının her biri beş d-orbitaline sahiptir. Bu d-orbitalleri t_{2g} ve e_g orbitalları olmak üzere ikiye ayrılır. e_g orbitali, orbital bulutlarının eksenler boyunca uzanan d-orbitalleri için verilen anlatımıdır ve bunlar dx^2-y^2 ve dz^2 fonksiyonlardır.

yonlarıdır. t_{2g} ile gösterilen d_{xy} , d_{xz} ve d_{yz} orbitaleri eksenler boyunca uzanmazlar (Şekil 2.4.1).

2.4.1. Oktahedral Ligand Alanı

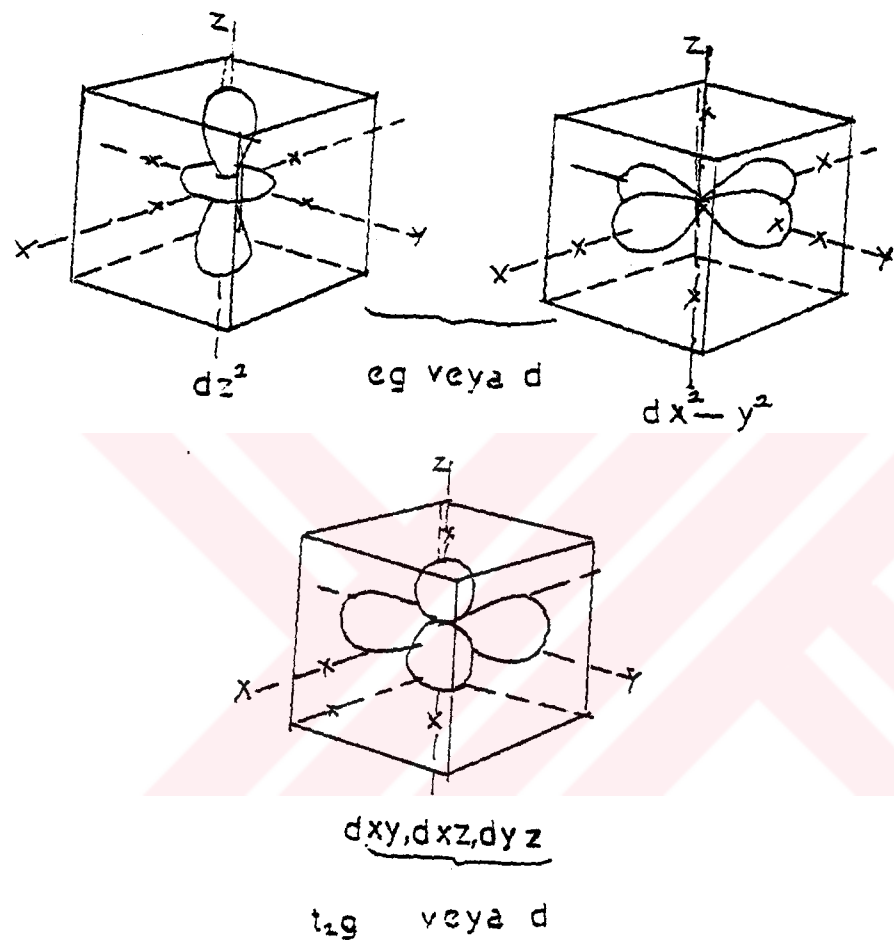
Koordinasyon sayısı 6 olan bir $Z^{n\neq}$ merkez iyonu altı tane L^- ligandıyla çevrilirse, bu ligandlar koordinat sistemlerinin eksenleri üzerinde bulunur. e_g orbitaleri, üzerinde altı ligand anyonunun bulunduğu koordinat sisteminin eksenlerine doğru yönelmişlerdir (Şekil 2.4.2).

Buna karşılık t_{2g} orbitaleri koordinat eksenleri yönünde değildir. Merkez iyonunun bütün d orbitaleri şimdi negatif ligandlar tarafından etkilenirler, fakat e_g orbitalindeki elektronların anyonlar tarafından t_{2g} orbitalerindeki elektronlardan daha fazla itilmeleri gereklidir. Böylece serbest iyonunun d -orbitalindeki dejenerasyon kalkmış olur. t_{2g} orbitaleri e_g orbitalerinden 10 Dq ile ifade edilen değer kadar daha stabildirler. Ligand alanı stabilizasyonu olan 10 Dq büyüklüğü, ligandın cinsine bağlıdır.

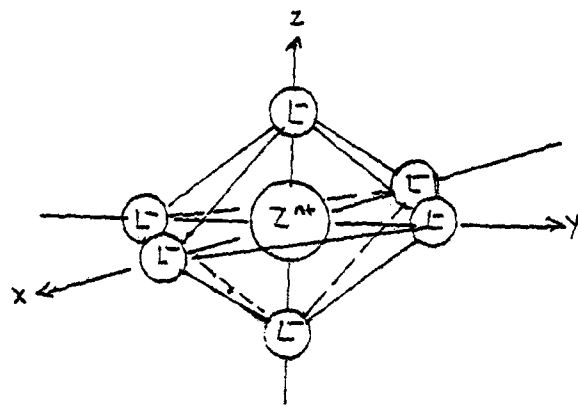
Şekil 2.4.3. te oktahedral ligand alanındaki d orbitalerinin enerji seviyelerinin bölünmesi gösterilmiştir.

Bu enerji farklılıklarını muhtemelen elektronların değişik orbitalerdeki dağılımının seçimlenmesine neden olur. Üç değerlikli demir örneğinde; Fe^{+3} iyonunda dejenerere olmuş d orbitaleri bulunur. Basit elektrostatik itme ve Hund kuralına göre, dışta bulunan 5 elektron d orbitalerini doldurur. Bütün spinler paraleldir, spin momenti en yüksek değere sahiptir.
(Yüksek spin)

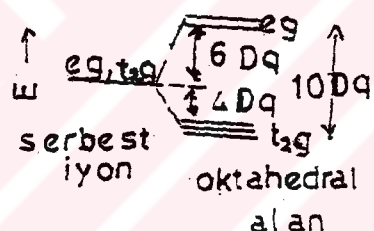
Oktahedral ligand alanında; elektronlar dejenerasyonun kalkması nedeniyle enerji bakımından en küçük değere sahip olan t_{2g} orbitalini işgal edeceklerdir. Böylece düşük spin momentli bir yapı elde edilir.(Düşük spin)
(Şekil 2.4.4.)



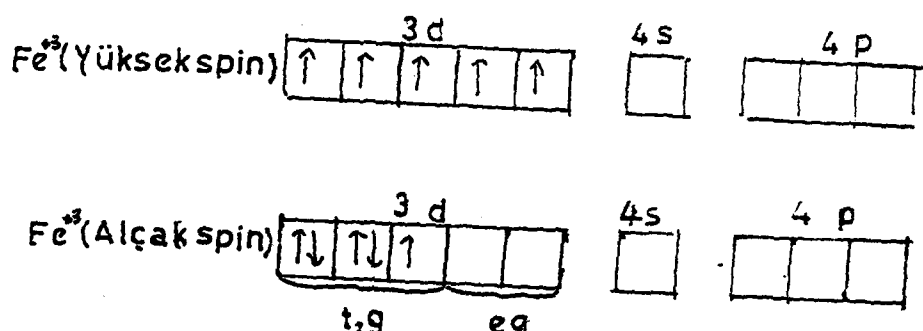
Şekil 2.4.1. d orbitallerinin iki sekli.



Şekil 2.4.2. Kartezyen koordinat sisteminde merkez iyonun çevresindeki oktaedral ligand düzeni.



Şekil 2.4.3. Orbitallerin dejenerasyonunun bir oktaedral ligand alan tarafindan ortadan kaldırılmasını gösteren enerji seviyeleri şeması.



Şekil 2.4.4. Fe^{+3} iyonundaki d orbitallerinin dejenerasyonu.

Burada elektronlar mümkün $t_{\frac{1}{2}g}$ mertebede çiftleşmişlerdir. Daha düşük enerji seviyelerinin doldurulmasıyla elde edilen enerji kazancına "kristal alan stabilizasyon enerjisi" denir.

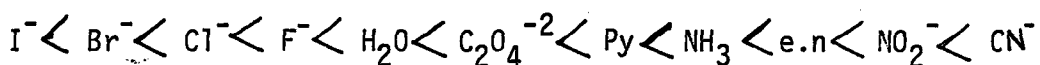
Birden ona kadar mevcut olabilen d elektronlarının dağılım ihtimalleri şemada gösterilmiştir. (Şekil 2.4.5.)

Enerjinin sıfır çizgisi olarak üç $t_{\frac{1}{2}g}$ ve iki eg orbitalerinin bir elektron tarafından statik işgali kabul edilir. Çünkü kuantum teorisinin bir prensibine göre, d orbitalinin orta dereceli enerjisi dejenerasyon kalkmasından sonra da aynıdır. $t_{\frac{1}{2}g}$ orbitalindeki bir elektronun enerjisi buna göre -4 Dq , eg orbitalindeki bir elektronun enerjisi de $+6 \text{ Dq}$ olur.

Bu sayılardan aynı şekilde verilmiş olan ligand alanlarındaki elektronların enerjileride ortaya çıkar. 4,5,6 ve 7 d elektronu bulunduğu halde yüksek spin ve düşük spin meydana gelmesi mümkündür.

Verilen elektron sayısındaki hangi elektron düzeninin söz konusu olabileceği, ligand alanı etkilerinin farkı ile elektron itmeleri arasındaki farkın büyük yada küçük olmasına bağlıdır. Dq büyük olduğu zaman düşük spin elde edilir ki, bu da kuvvetli bir ligand alanında mümkündür. Bu halde $t_{\frac{1}{2}g}$ ve eg seviyelerinin enerji bölünmeleri büyüktür.

Ligandların kuvvetli alan oluşturabilme gücü aşağıdaki sıraya göre artar.



$[\text{Fe}(\text{H}_2\text{O})_6]^{+3}$ komplekslerinin neden yüksek manyetik momente sahip olduğu anlaşılır. Oldukça küçük ligand alanı H_2O yüksek spin düzeninin kurulmasını kolaylaştırır. $[\text{Fe}(\text{CN})_6]^{-3}$ kompleksinde CN^- ligandın kuvvetli ligand alanı sebebiyle düşük spin düzeni söz konusudur.

elektron sayısı	mümkün elektron düzeni	ligand alanda enerji	tahmin edilen man.moment					
	t_{2g} e_g	[0q]	[BM]					
1	<table border="1"><tr><td>↑</td><td></td><td></td><td></td><td></td></tr></table>	↑					$(t_{2g})^1$	-4 1,73
↑								
2	<table border="1"><tr><td>↑</td><td>↑</td><td></td><td></td><td></td></tr></table>	↑	↑				$(t_{2g})^2$	-8 2,83
↑	↑							
3	<table border="1"><tr><td>↑</td><td>↑</td><td>↑</td><td></td><td></td></tr></table>	↑	↑	↑			$(t_{2g})^3$	-12 3,93
↑	↑	↑						
4	<table border="1"><tr><td>↑</td><td>↑</td><td>↑</td><td>↑</td><td></td></tr></table>	↑	↑	↑	↑		$(t_{2g})^3(e_g)^1$ Yüksek spin	-6 4,90
↑	↑	↑	↑					
4	<table border="1"><tr><td>↓</td><td>↑</td><td>↑</td><td></td><td></td></tr></table>	↓	↑	↑			$(t_{2g})^4$ Alçak spin	-16 2,83
↓	↑	↑						
5	<table border="1"><tr><td>↑</td><td>↑</td><td>↑</td><td>↑</td><td>↑</td></tr></table>	↑	↑	↑	↑	↑	$(t_{2g})^3(e_g)^2$ Yüksek spin	0 5,92
↑	↑	↑	↑	↑				
5	<table border="1"><tr><td>↑↓</td><td>↑↓</td><td>↑</td><td></td><td></td></tr></table>	↑↓	↑↓	↑			$(t_{2g})^5$ Alçak spin	-20 1,73
↑↓	↑↓	↑						
6	<table border="1"><tr><td>↓↓</td><td>↑</td><td>↑</td><td>↑</td><td>↑</td></tr></table>	↓↓	↑	↑	↑	↑	$(t_{2g})^6(e_g)^1$ Yüksek spin	-4 4,90
↓↓	↑	↑	↑	↑				
6	<table border="1"><tr><td>↑↓</td><td>↑↓</td><td>↑↓</td><td></td><td></td></tr></table>	↑↓	↑↓	↑↓			$(t_{2g})^6$ Alçak spin	-24 0
↑↓	↑↓	↑↓						
7	<table border="1"><tr><td>↑↓</td><td>↑↓</td><td>↑</td><td>↑</td><td>↑</td></tr></table>	↑↓	↑↓	↑	↑	↑	$(t_{2g})^6(e_g)^1$ Yüksek spin	-8 3,88
↑↓	↑↓	↑	↑	↑				
7	<table border="1"><tr><td>↑↓</td><td>↑↓</td><td>↓↓</td><td>↑</td><td></td></tr></table>	↑↓	↑↓	↓↓	↑		$(t_{2g})^6(e_g)^1$ Alçak spin	-8 1,73
↑↓	↑↓	↓↓	↑					
8	<table border="1"><tr><td>↑↓</td><td>↑↓</td><td>↑↓</td><td>↑</td><td>↑</td></tr></table>	↑↓	↑↓	↑↓	↑	↑	$(t_{2g})^6(e_g)^2$	-12 2,83
↑↓	↑↓	↑↓	↑	↑				
9	<table border="1"><tr><td>↑↓</td><td>↑↓</td><td>↑↓</td><td>↑↓</td><td>↑</td></tr></table>	↑↓	↑↓	↑↓	↑↓	↑	$(t_{2g})^6(e_g)^3$	-5 1,73
↑↓	↑↓	↑↓	↑↓	↑				
10	<table border="1"><tr><td>↑↓</td><td>↑↓</td><td>↓↓</td><td>↑↓</td><td>↑↓</td></tr></table>	↑↓	↑↓	↓↓	↑↓	↑↓	$(t_{2g})^6(e_g)^4$	0 0
↑↓	↑↓	↓↓	↑↓	↑↓				

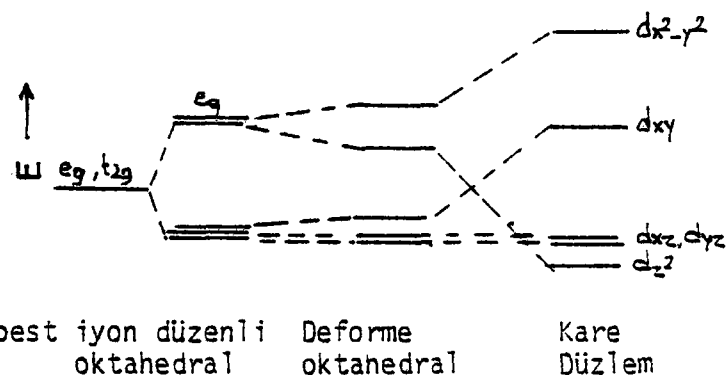
Şekil 2.4.5. Oktahedral alanda 1'den 10'a kadar mevcut olabilen d orbitallerinin dağılım ihtimalleri.

Kuvvetli alanlı ligandlar katyonlar tarafından şiddetle polarize edilirler. Bir anyonun katyon tarafından polarizasyonu basit bir yaklaşımla kovalent ve iyonik karakterlerin bir karışımı olarak kabul edilebilir. Kuvvetli bir ligand alana sahip ligand ki bu düşük spin durumuna sebep olur. Şiddetle polarize edilmiştir, veya başka deyişle; bağ kuvvetli kovalent karaktere sahiptir.

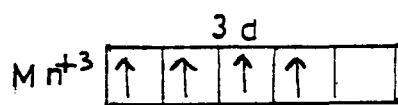
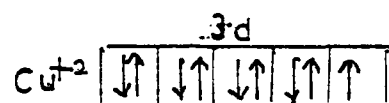
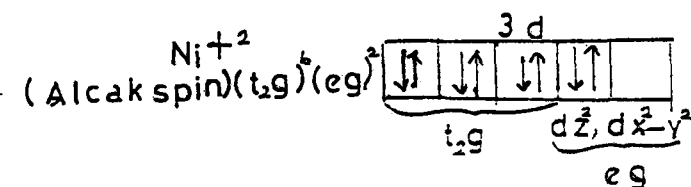
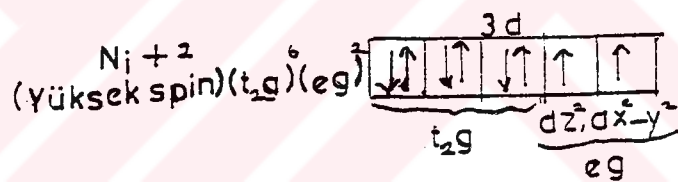
2.4.2. Karesel Ligand Alanı

Oktahedrallerden başlayarak z-ekseni üzerindeki iki ligandın merkez iyonundan giderek uzaklaştığı düşünülürse, tetragonal bipiramit düzene üzerinden düzgün karesel yapı elde edilir. z- ekseninin uzatılması ve ligandın xy düzlemine yaklaştırılması ile dz^2 orbitali stabilleştirilir ve dx^2-y^2 orbitali de oktaedral ligand alanında olduğundan daha stabil olur. Yani oktaedral komplekslerinden daha düşük enerji dağılımı elde edilir. Ayrıca buna dz^2 orbitalinin stabilize edilmesi de eklenmiştir. t_{2g} ve e_g orbitallerinin dağılımı Şekil 2.4.6. te gösterilmiştir. Bu dağılımı gözönüne alırsak 2 oksidasyon sayılı nikel komplekslerini açıklayabiliriz. Ni^{+2} iyonunun elektron düzeni düzlem oluşturmaz, çünkü bir elektronun çok不稳定 olan dx^2-y^2 orbitalinde bulunması gereklidir. Ancak düşük spin elektron düzeni ile düzlemsel bir yapı söz konusu olabilir. Bu durum çok kuvvetli ligand alanında meydana gelecektir.

Örneğin, Cu(II) koordinasyon sayısı 4 olan Ni(II) den daha zor düzlemsel kompleksler oluşturur. Çünkü Cu(II) nin elektron sisteminde bir elektron stabil olmayan dx^2-y^2 orbitalinde bulunur. Fakat koordinasyon sayısı 6 olan Cu^{+2} oktaedral ligand içinde olmayan kompleksler de oluşturur. Bu durum söyle açıklanabilir: Cu^{+2} de 3 elektron enerji bakımından



Şekil 2.4.6. Deforme oktaedral ve kare düzlemsel ligand alanında e_g ve t_{2g} orbitallerine tekabül euen enerji seviyelerinin dağılımı.



Şekil 2.4.7. Ni^{+2} , Cu^{+2} ve Mn^{+3} ün d orbitalerin dağılımı.

zayıf iki orbitalde bulunur. Bu halde dz^2 de olduğu gibi dx^2-y^2 de çift işgal edilmiş olabilir. İki elektronun dz^2 de bulunması z-ekseni doğrultusunda bir elektron yoğunluğuna sebep olur. Bu yüzden ortada bulunan iki ligand merkez iyonundan biraz uzaklaşır. Koordinasyon sayısı 6 da yapı düzgün değil, aksine z-eksenine doğru eğilmiş bir oktaedral şeklärindedir. İki elektronun dz^2 orbitali yerine dx^2-y^2 orbitalinde bulunması sonucunda sıkıştırılmış bir oktaedral oluşur. Koordinasyon sayısı 6 olan Cu(II) nin $3 d^9$ elektron düzeneinde kaydırılmış oktaedralın yapısı düzgün bir oktaedralinkinden daha sağlamdır. Burada Jahn-Teller etkisi söz konusudur. Koordinasyon sayısı 6 olan Cu(II) komplekslerinin çoğunda z-eksenine doğru eğilmiş oktaedral düzenler mevcuttur. Örneğin $CuCl_2 \cdot 2H_2O$ ilk bakısta düzgün karesel yapıda gözükür. Cu-Cl mesafesi $2,28 \text{ \AA}^0$, Cu-H₂O mesafesi $1,93 \text{ \AA}^0$ dur. Cu dan $2,95 \text{ \AA}^0$ uzaklıkta iki Cl ligantı daha vardır. $CuSO_4 \cdot 5H_2O$ bileşığının yapısında da Cu merkez atomu etrafında yamulmuş bir oktaedral kurulmuştur.

$K_2CuCl_4 \cdot 2H_2O$ da atomlar şu düzende bulunur. Cu merkez atomudur, iki Cl atomunun Cu dan uzaklışı $2,32 \text{ \AA}^0$ iki O atomunun uzaklışı $1,97 \text{ \AA}^0$ ve diğer iki Cl atomunun uzaklışı da $2,95 \text{ \AA}^0$ dur. Son iki Cl atomu z ekseni yönündedir ve 6 koordinasyon sayısı söz konusudur. z ekseni yönünde bulunan atomlar x veya y ekseninde bulunanlardan daha uzaktadırlar. Bir çok Cu(II) bileşiği bu şeklärindedir.

Au(III) bileşiklerinde de örneğin $Cs_2AgAuCl_6$ da bu durum gözlenir. Ancak bazıları da düzgün yapıdaki komplekslerdir. Örneğin $[AuBr_4]^-$.

MnF_3 bileşiği de benzer yapıda olup röntgen yapı analizi ile madde nin $[MnF_6]^{+3}$ birimlerinden kurulmuş olduğu anlaşılmıştır. Mn^{+3} iyonunda

dx^2-y^2 orbitali boş kalır. Ligand alan teorisinin gerektirdiği gibi, MnF_6 oktaedralinin z ekseni boyunca uzandığı ölçülen Mn-F bağ uzunluklarından anlaşılır. Her bir Mn-F uzaklığı için $2,09$; $1,91$ ve $1,79$ Å⁰ değerleri ölçülmüştür. Yani 4 kısa ve 2 uzun bağ vardır ve kısa bağlar kovalent bağ için beklenen büyüklüktedir. Maddenin paramanyetizması dört çiftleşmemiş elektrona uygun olarak $4,9$ BM dur.

2.4.3. Tedrahedral Ligand Alanı

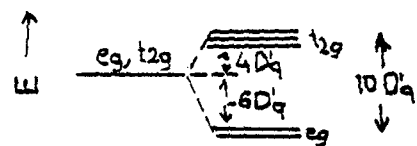
Oktahedral ve düzlem karesel ligand düzenebine ait düşünceler, tetrahedral koordinasyon poliederi içinde geçerli olabilir. Orbitallerin enerji dağılımı Şekil 2.4.9. teki gibidir. Bu durumda dz^2 ve dx^2-y^2 orbitalleri t_{2g} orbital fonksiyonundan daha sağlamdır. Bu durum, dört ligantın koordinat sistemindeki konumları orbital bulutları ile karşılaştırıldığında kolayca anlaşılır. Eksenler üzerinde negatif bir yük bulunmadığı zaman, ligandların koordinat sisteminde eksenler arasında bulunduğu nitel olarak görülebilir.

Bunun için eksenler yönünde bulunan orbitaller (eg), merkez atom elektronunun barındırılması için daha elverişli olup, bununla birlikte eksenler arasındaki orbitallerden (t_{2g}) daha sağlam ve enerjiden yoksundurlar. (Şekil 2.4.10)

eg ve t_{2g} orbitalleri arasındaki enerji değerlerinin farkları $10 Dq$ ile gösterilir. Burada dikkat edilecek nokta Dq ve Dq ' nun değişik olmalıdır. Şemada tetrahedral alanda değişik elektron sayılarındaki stabilizasyon enerjisi hesaplanmıştır. İki yada yedi d-elektronunun varlığında yüksek spin stabilize edilmiştir. Bu sebeple Ti(II) ve Co(II) büyük manyetik momentli tetrahedral kompleksler oluştururlar. Oksidasyon sayısı 2^+ olan

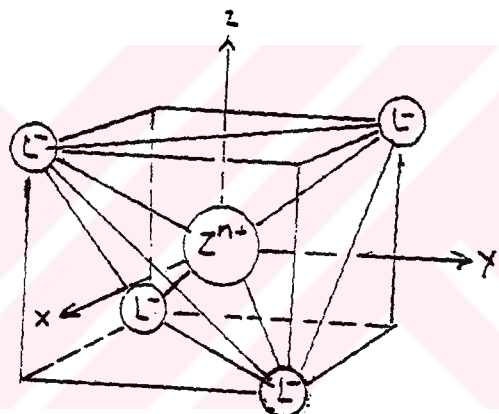
elektron sayısı	mümkin elektron düzeni		ligand alanda tahmin edilen enerji man.moment
	e_g	t_{2g}	
1			$(e_g)^1$ -6 1,73
2			$(e_g)^2$ -12 2,83
3			$(e_g)^1(t_{2g})^1$ Yüksek spin -8 3,88
4			$(e_g)^1(t_{2g})^1$ Yüksek spin -18 1,73
4			$(e_g)^1(t_{2g})^1$ Yüksek spin -4 4,90
5			$(e_g)^1(t_{2g})^1$ Yüksek spin -24 0
5			$(e_g)^1(t_{2g})^1$ Yüksek spin 0 5,92
6			$(e_g)^1(t_{2g})^1$ Yüksek spin -20 1,73
6			$(e_g)^1(t_{2g})^1$ Yüksek spin -6 4,90
6			$(e_g)^1(t_{2g})^1$ Yüksek spin -16 2,83
7			$(e_g)^1(t_{2g})^1$ -12 3,88
8			$(e_g)^1(t_{2g})^1$ -8 2,83
9			$(e_g)^1(t_{2g})^1$ -4 1,73
10			$(e_g)^1(t_{2g})^1$ 0 0

2.4.8. Tetrahedral alanda 1'den 10'a kadar mevcut olabilen d orbitalerinin dağılım ihtimalleri.



Serbest iyon Tetrahedral
alan

Sekil 2.4.9. Tetrahedral ligand alanı ile, orbitallerdeki dejenerasyonun kalkmasını gösteren enerji seviyeleri şeması.



Sekil 2.4.10. Kartezyen koordinat sisteminde tetrahedral ligand düzeni.

nikel için özel bir durum vardır. Son yörüngesinde sekiz elektron bulunan Ni^{+2} de, D_4 , $2D$ 'q olduğu gözönünen alınırsa, $8 D$ 'q luk tetrahedral stabilizasyon enerjisine ve $12 D$ 'q veya $24 D$ 'q luk oktaedral stabilizasyon enerjisine sahiptir. Bunun için kuvvetli ligand alanında daha çok oktaedral olusur ve bu oktaedraller daha önce gördüğümüz gibi karesel düzene kadar kaydırılabilirler. Fakat zayıf ligand alanında karesel yapı özel stabilitesini kaybedecek kadar zayıfsa, NiX_4^{-2} komplekslerinde olduğu gibi polymerizasyon ile tetrahederalden çok oktaedral bir koordinasyon tercih edilir.

$\left[\text{NiX}_2 \left[\text{P}(\text{C}_6\text{H}_5)_3 \right]_2 \right]$ ($X = \text{Cl}, \text{Br}, \text{I}$ ve NO_3) bileşiği tetrahedral yapıdadır. John-Teller etkisi burada da gözlenir. Tetrahedralin z ekseni yönünde alçaltıldığını düşünebiliriz. d orbitalleri şekil 2.4.11 de gösterildiği gibi bölünür. İyonun sekiz elektronundan dördü eg orbitalinde, iki si d_{xy} orbitalinde ve iki tanesi de en不稳定 olan iki orbitalde bulunur.

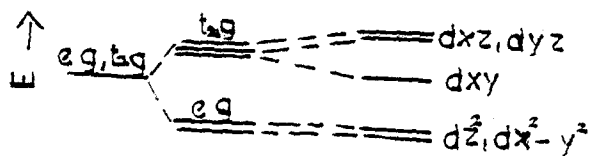
2.4.4. Beşli Koordinasyonda Ligand Alanı

Koordinasyon sayısı beş olan kompleksler trigonal bıpiramid ve tetragonal bıpiramid düzenlerinde bulunabilirler (Şekil 2.4.12). Ligandların yerleri ile merkez atomun d orbitallerinin simetrisi karşılaştırıldığında Şekil 2.4.13 de gösterilen enerji dağılımı ortaya çıkar. Trigonal bıpiramid düzende dz^2 , enerji bakımından en avantajlı olan orbitaldir, çünkü bu orbital beş ligandtan ikisinin yönüne doğrudur. dxz ve dyz orbitalleri en stabil olanlardır ve enerji bakımından d_{xy} ve dx^2-y^2 bunların arasındadır.

Aynı düşünceler, orbitallerin enerji seviye durumlarının merkez iyonun geometrik düzende yerine göre değişebileceğinin dikkate alınarak tetragonal piramid yapıdaki kompleksler içinde uygulanabilir (Şekil 2.4.14).

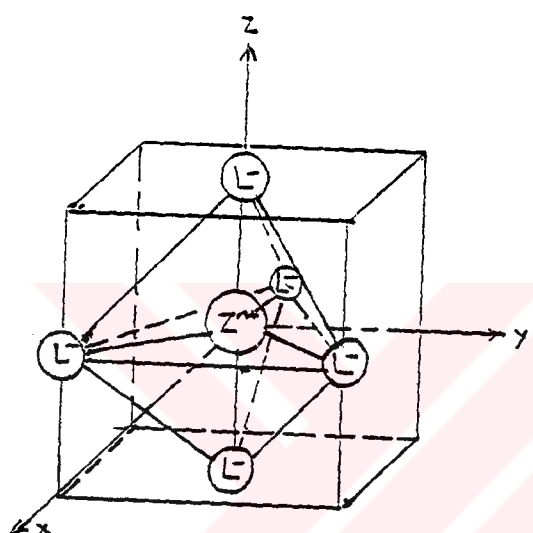
- Ligand alan teorisi için son olarak belirtilmesi gereken husus; tipik model teorisi olarak nitel şekliyle büyük matematik yaklaşılmlara gerek duymadan anlaşılabilecek gibi olması ve kompleks bileşiklere bir sınıflandırma getirmesidir.



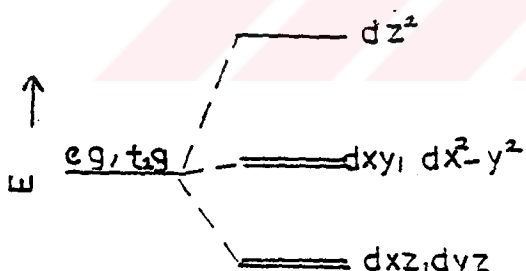


Serbest Düzenli $D_2\text{d}$ simetrili iyon Tetrahedral dağılım.

Şekil 2.4.11. Tetrahedral alanda $t_{2\text{g}}$ orbitallerine tekabül eden enerji seviyelerinin $D_2\text{d}$ simetrisi ile dağılımı.

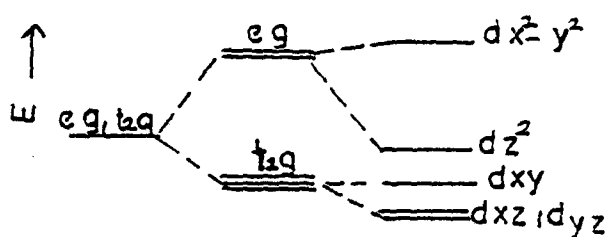


Şekil 2.4.12. Kartezyen koordinat sisteminde trigonal bi piramid düzenei.



Serbest iyon Trigonal bi piramid alan

Şekil 2.4.13. Trigonal bi piramid koordinasyonunda dejenerasyonun kalkması.



Serbest oktaedral iyon alan Tetragonal bipiramid alan

Şekil 2.4.14. Tetragonal bi piramid koordinasyonunda d orbitallerinin dejenerasyonunun kalkması

BÖLÜM 3

MATERIAL VE METOD

3.1. KULLANILAN MADDELER

- a) Dietilamonyum hidroklorür ($C_4H_{11}N \cdot HCl$) : $\left[(CH_3CH_2)_2NH_2 \right]_2CuCl_4$ eldesinde kullanılan dietilamonyum hidroklorür sigma ürünüdür.
- b) Bakır klorür ($CuCl_2 \cdot 2H_2O$) : $\left[(CH_3CH_2)_2NH_2 \right]_2CuCl_4$ eldesinde kullanılan bakır klorür Merck ürünüdür.
- c) izopropil alkol (C_3H_8OH) : $\left[(CH_3CH_2)_2NH_2 \right]_2CuCl_4$ eldesinde kullanılan izopropil alkolün yoğunluğu $0,78 \text{ g/cm}^3$ olup Rectabar ürünüdür.
- c) Civa iyodür (HgI_2) : Cu_2HgI_4 eldesinde kullanılan civa iyodür Merck ürünüdür.
- d) Potasyum iyodür (KI) : Cu_2HgI_4 eldesinde kullanılan potasyum iyodür. Merck ürünüdür.
- e) Bakır sülfat ($CuSO_4 \cdot 5H_2O$) : Cu_2HgI_4 eldesinde kullanılan bakır sülfat Merck ürünüdür.
- f) Sodyum tiyo sülfat ($Na_2S_2O_3$) : Cu_2HgI_4 eldesinde SO_2 gazı geçirmek için kullanılan sodyum tiyo sülfat Merck ürünüdür.
- g) Sülfürik asit (H_2SO_4) : Cu_2HgI_4 eldesinde SO_2 gazı geçirmek için kullanılan %98 lik sülfürik asitin yoğunluğu $1,84 \text{ g/cm}^3$ olup Merck ürünüdür.
- ğ) Bakır bromür ($CuBr_2$) : $Cu(NH_3)_2 (CH_3CO_2)Br$ eldesinde kullanılan bakır bromür Sigma ürünüdür.

- h) Glacial asetik asit (CH_3COOH) : $\text{Cu}(\text{NH}_3)_2(\text{CH}_3\text{CO}_2)\text{Br}$ eldesinde kullanılan %100 lük Glacial asetik asitin yoğunluğu $1,05 \text{ g/cm}^3$ olup Merck ürünüdür.
- i) Sodyum nitrit (NaNO_2) : $\text{Cu}(\text{NH}_3)_2(\text{NO}_2)_2$ eldesinde kullanılan sodyum nitrit Merck ürünüdür.
- j) Bakır (II) nitrat ($\text{Cu}(\text{NO}_3)_2 \cdot 3\text{H}_2\text{O}$) : $\text{Cu}(\text{NH}_3)_2(\text{NO}_2)_2$ eldesinde kullanılan bakır(II) nitrat Merck ürünüdür.
- k) Amonyum nitrat (NH_4NO_3) : $\text{Cu}(\text{NH}_3)_2(\text{NO}_2)_2$ eldesinde kullanılan amonyum nitrat Merck ürünüdür.
- l) Metil alkol (CH_3OH) : $\text{Cu}(\text{NH}_3)_2(\text{NO}_2)_2$ eldesinde kullanılan metil alkolün yoğunluğu $0,791$ olup Merck ürünüdür.
- m) Etil asetat ($\text{C}_4\text{H}_8\text{O}_2$) : $\text{Cu}(\text{NH}_3)_2(\text{NO}_2)_2$ eldesinde kullanılan etil asetatın yoğunluğu $0,90 \text{ g/cm}^3$ olup Merck ürünüdür.
- n) Asetil aseton ($\text{C}_5\text{H}_8\text{O}_2$) : $\text{Cu}(\text{C}_5\text{H}_7\text{O}_3)_2$ eldesinde kullanılan %99 luk asetil asetonun yoğunluğu $0,97 \text{ g/cm}^3$ olup Merck ürünüdür.
- o) Amonyum klorür (NH_4Cl) : $[\text{Co}(\text{NH}_3)_5\text{Cl}] \text{Cl}_2$ eldesinde kullanılan amonyum klorür Merck ürünüdür.
- p) Hidrojen peroksit (H_2O_2) : $[\text{Co}(\text{NH}_3)_5\text{Cl}] \text{Cl}_2$ eldesinde kullanılan %35 lik hidrojen peroksitin yoğunluğu $1,13 \text{ g/cm}^3$ olup Merck ürünüdür.
- q) Gümüş asetat (AgCH_3COO) : Ag_2HgI_4 eldesinde kullanılan gümüş asetat Merck ürünüdür.
- r) Hidroklorik asit (HCl) : Deneylerde %37 lik yoğunluğu $1,9 \text{ g/cm}^3$ olan Merck ürünü hidroklorik asit kullanılmıştır.

s) Etil alkol (C_2H_5OH) : Deneylerde yoğunluğu $0,79 \text{ g/cm}^3$ olan Merck ürünü etil alkol kullanılmıştır.

ş) Amonyak (NH_3) : Deneylerde %25 lik yoğunluğu $0,91 \text{ g/cm}^3$ olan Merck ürünü amonyak kullanılmıştır.

Deneylerde kullanılan katı kimyasal maddeler belli çözüçüler içinde sıcakta çözülüp soğukta tekrar kristallendirilerek saflaştırılmıştır.

3.2. KULLANILAN ALETLER

3.2.1. Isıtıcı ve Magnetik Karıştırıcı

Deneylerde elektro-mag yapımı M22 tipi cihaz kullanılmıştır. Deney kabındaki çözelti, teflonla kaplı mıknatıs yardımı ile karıştırılmıştır.

3.2.2. Erime Noktası Cihazı

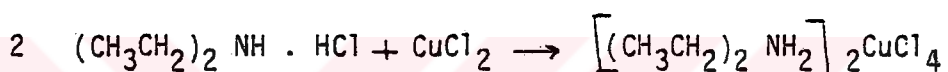
Elde edilen kristallerin erime noktalarını gözlemek için Mettler yapımı erime noktası cihazı kullanılmıştır. Elde edilen kompleks bileşiklerden küçük bir miktar kapiler borulara yerleştirilerek erime noktası cihazı ile bu bileşiklerin termokromik dengesi üzerine bir dakika aralıklarıla artan ve azalan sıcaklıkların etkisi incelenmiştir.

3.2.3. UV - 160

Deneylerde Shimadzu UV - 160 A tipi cihaz kullanılmıştır. UV - 160 ile 200 ve 800 nm dalga boyu aralıklarında Aseton + su (80/20) ve etil alkol çözüçüleri içinde $10^{-1} \text{ M } CoCl_2 \cdot 6H_2O$, izopropil alkol ve etil alkol çözüçüleri içinde, 10^{-5} M , 10^{-1} M ve $0,14 \text{ M} [(CH_3CH_2)_2NH_2]_2 CuCl_4$ ile $10^{-5} \text{ M } Cu_2HgI_4$ ün termokromik dengeleri üzerine $5^{\circ}C$ aralıklarla 25 ve $70^{\circ}C$ arasındaki sıcaklıkların etkisi incelenmiştir.

3.3. DENEYLER

3.3.1. Bis (dietilamin) bakır tetra tetraklorür ($\left[(\text{CH}_3\text{CH}_2)_2\text{NH}_2\right]_2\text{CuCl}_4$) eldesi:
 0,02 mol dietil amonyum hidroklorür ($(\text{CH}_3\text{CH}_2)_2\text{NH} \cdot \text{HCl}$) 15 ml izopropil alkolde ($\text{C}_3\text{H}_8\text{OH}$), 0,01 mol bakır (II) klorür (CuCl_2) 3 ml mutlak etil alkolde ($\text{C}_2\text{H}_5\text{OH}$) ısıtılarak çözüldü. Her iki sıcak çözelti birbiriyle karıştırılarak oda sıcaklığına kadar soğutuldu. Oluşan iğne şeklindeki yeşil kristaller süzülerek önce su sonra izopropil alkol ile yıkandı, desikatörde kurutuldu.



3.3.2. Bakır (I)tetra iyodomerkürat(II) (Cu_2HgI_4) eldesi :

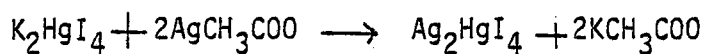
25 ml su içinde 4,5 g civa (II) iyodür (HgI_2) ve 3,3 g potasyum iyodür (KI) çözülmek kalitatif süzgeç kağıdından süzüldü. 5 g bakır sülfat pentahidrat ($\text{CuSO}_4 \cdot 5\text{H}_2\text{O}$) 15 ml su içindeki çözeltisine eklendi. Bu çözeltiden parlak kırmızı renkteki çökelek tamamen oluşuncaya kadar SO_2 gazı geçirildi. SO_2 gazı $\text{Na}_2\text{S}_2\text{O}_3$ üzerine derişik H_2SO_4 eklenmesiyle elde edildi.

Oluşan Cu_2HgI_4 çökeleği büchner hunisinden süzülerek önce su sonra alkol ve eterle yıkandı. Ürün sıcak hidroklorür asidinden (HCl) tekrar kristallendirilerek gerekli yıkamalar yapıldıktan sonra vakumda kurutuldu.



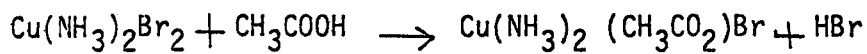
3.3.3. Gümüş (I)tetraiyodomerkürat (II) (Ag_2HgI_4) eldesi :

5 ml su içinde 6g civa (II) iyodür (HgI_2) ve 3g potasyum iyodür (KI) çözülmektedir. Kalitatif süzgeç kağıdından sızıldı. 4g gümüş asetatin (AgCH_3COO) 160 ml su içinde çözeltisine eklendi. Oluşan sarı çökelek büchner hunisinden sızıldı. Önce su sonra alkol ve eterle yıkandı.



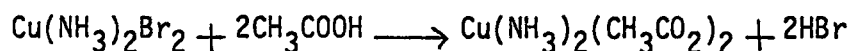
3.3.4. Brømoasetato diaminbakır (II) ($\text{Cu}(\text{NH}_3)_2(\text{CH}_3\text{CO}_2)\text{Br}$) eldesi :

5 g bakır (II) bromür (CuBr_2) 10 ml amonyak (NH_3) içinde çözüldü. 7,3 ml glacial asetik asit ve 70 ml etil alkol eklendi. Oluşan kahverengi çökelek çözünene kadar ısıtılarak sızıldı. Çöken parlak mavi kristaller etil alkol ve eterle yıkandı. Vakumda kurutuldu.



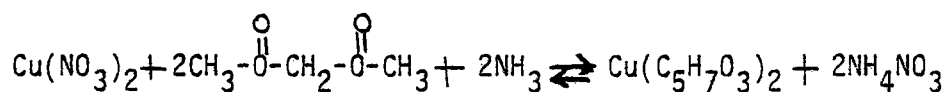
3.3.5. Diasetato diaminbakır (II) ($\text{Cu}(\text{NH}_3)_2(\text{CH}_3\text{CO}_2)_2$) eldesi :

5 g bakır (II) bromür (CuBr_2) 10 ml amonyak (NH_3) içinde çözüldü. 14,6 ml glacial asetik asit ve 140 ml etil alkol eklendi. Oluşan kahverengi çökelek çözünene kadar ısıtılarak sızıldı. Çöken parlak mavi kristaller etil alkol ve eterle yıkandı. Vakumda kurutuldu.



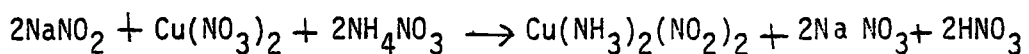
3.3.6. Bisasetilasetanato bakır (II) ($\text{Cu}(\text{C}_5\text{H}_7\text{O}_8)_2$) eldesi :

8g bakır (II) nitrat tri hidrat ($\text{Cu}(\text{NO}_3)_2 \cdot 3\text{H}_2\text{O}$) 50 ml suda çözüle-rek bu çözeltiye 4 ml asetil aseton ($\text{C}_5\text{H}_8\text{O}_2$) eklendi. 2 M sulu amonyak çözeltisi ortam bazik oluncaya kadar ilave edildi. Çözelti buzda soğutularak süzüldü ve kurutuldu. Ürün içinde kalabilecek olan $\text{Cu}(\text{OH})_2$ kloroform ile yıkandı, kloroform buharlaştırıldı.



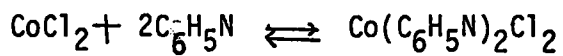
3.3.7. Dinitro di aminbakır (II) ($\text{Cu}(\text{NH}_3)_2(\text{NO}_2)_2$) eldesi :

10,4 g sodyum nitritin (NaNO_2) 30 ml su içindeki çözeltisi, 4,8 g bakır (II) nitrat tri hidratının ($\text{Cu}(\text{NO}_3)_2 \cdot 3\text{H}_2\text{O}$) ve 6,4 g Amonyum nitratının (NH_4NO_3) 20 ml su içindeki çözeltisine katıldı, 100 ml metil alkol eklendi, çözelti 30 dk karıştırıldı, süzüldü, süzüntüye 100 ml etil asetat katıldı, $\text{Cu}(\text{NH}_3)_2(\text{NO}_2)_2$ nin siyah kristalleri karışım bir kaç gün 15 °C civarında tutularak elde edildi.



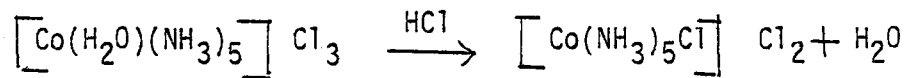
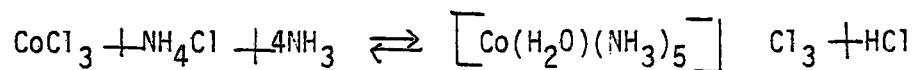
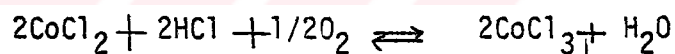
3.3.8. Diklorodipiridin kobalt (II) ($\text{CoCPy}_2\text{Cl}_2$) eldesi :

5 g kobalt (II) klorür hekzagidrat ($\text{CoCl}_2 \cdot 6\text{H}_2\text{O}$) sıcak etil alkolde çözüldü, çözeltiye piridinin 1:1 etilalkollü çözeltisi karıştırılarak damla damla eklendi, alkol uçurularak $\text{Co}(\text{Py})_2\text{Cl}_2$ nin pembe renkli kristalleri elde edildi.



3.3.9. Pentamin kobalt (III) klorür ($\left[\text{Co}(\text{NH}_3)_5\text{Cl}\right]\text{Cl}_2$) eldesi :

5g kobalt karbonatının (CoCO_3) 15 ml derişik HCl içindeki çözeltisine 35 ml su katıldı, çözünmeyen kobalt oksidinin ayrılması için çözelti süzüldü. Buna 5 g amonyum klorür (NH_4Cl) ve 50 ml derişik amonyak (NH_3) eklendi. Çözelti soğutulduktan sonra 80 ml %6 lık hidrojen peroksit (H_2O_2) yavaşça ve karıştırılarak ilave edildi. Köpüklenmenin yavaşlamasından yükseltgenmenin tamamlanmış olduğu kabul edildi. Çözeltiden bir saat hava geçirerek fazla amonyak uzaklaştırıldı ve çözelti derişik hidroklorik asidi ile nötralleştirildi. Nötralleşme noktasında aqua pentamin kobalt (III) klorür çökeleği oluştu, 20 ml HCl eklendikten sonra iki saat su banyosunda ısıtılarak vakumda süzüldü. Tepkimeye girmeyen aquapentamin kobalt (III) klorürünün ayrılması için ürün su ve alkol ile yıkandı, 110°C te kurutuldu.



BÖLÜM 4

DENEYLERİN SONUÇLARI

Bu çalışmalarda özellikle bakır ve kobaltın amin kompleksleri hazırlanmış ve erime noktası cihazında belli sıcaklıklardaki termokromik faz geçişlerine bakılmıştır. Yine $\text{CoCl}_2 \cdot 6\text{H}_2\text{O}$, $[(\text{CH}_3\text{CH}_2)_2\text{NH}_2]_2\text{CuCl}_4$ ile Cu_2HgI_4 ün belli çözüçüler içindeki çözeltilerinin UV spektrumları alınmıştır.

4.1. $[\text{Co}(\text{H}_2\text{O})_6]^{+2}$ Kompleks bileşигine ait ısınma ve soğuma ile sabit sıcaklıklarda çeşitli dalga boylarındaki absorbans değerleri Tablo 4.1.1, 2,3, ve 4 de verilmiştir.

Tablo 4.1.1. $[\text{Co}(\text{H}_2\text{O})_6]^{+2}$ Kompleks bileşigine ait ısınma ve soğuma değerleri :

Zaman (dk)	Sıcaklık ($^{\circ}\text{C}$)	
	Isınma	Soğuma
1	18.0	55.0
2	19.0	54.0
3	21.0	52.0
4	23.0	50.0
5	25.0	49.0
6	28.0	48.0
7	30.0	47.0
8	32.0	45.0

9	35.0	44.0
10	38.0	43.0
11	40.0	41.0
12	43.0	40.0
13	45.0	38.0
14	47.0	37.0
15	50.0	36.0
16	52.0	34.0
17	54.0	33.0
18	56.0	32.0

Tablo 4.1.2 Aseton + Su çözücüsü içinde $10^{-1} M [Co(H_2O)_6]^{+2}$ nin sıcaklık dalga boyu ve absorbans değerleri:

Sıcaklık ($^{\circ}C$)	Pik		Çukur	
	λ (nm)	ABS	λ (nm)	ABS
20.0	671.0	0.590	762.5	0.023
	604.0	0.370	610.0	0.366
	513.5	0.627	570.5	0.259
25.0	669.5	0.591	571.5	0.259
	512.5	0.626		
30.0	670.0	0.667	570.5	0.281
	515.5	0.632		
35.0	670.0	0.777	761.0	0.024
	603.5	0.475	611.5	0.472
	513.5	0.640	569.0	0.311
40.0	670.0	0.896	752.0	0.026
	514.5	0.648	567.5	0.342
45.0	670.0	1.072	783.0	0.025
	515.5	0.660	565.5	0.383
50.0	669.5	1.244	789.5	0.026
	516.0	0.670	563.5	0.421

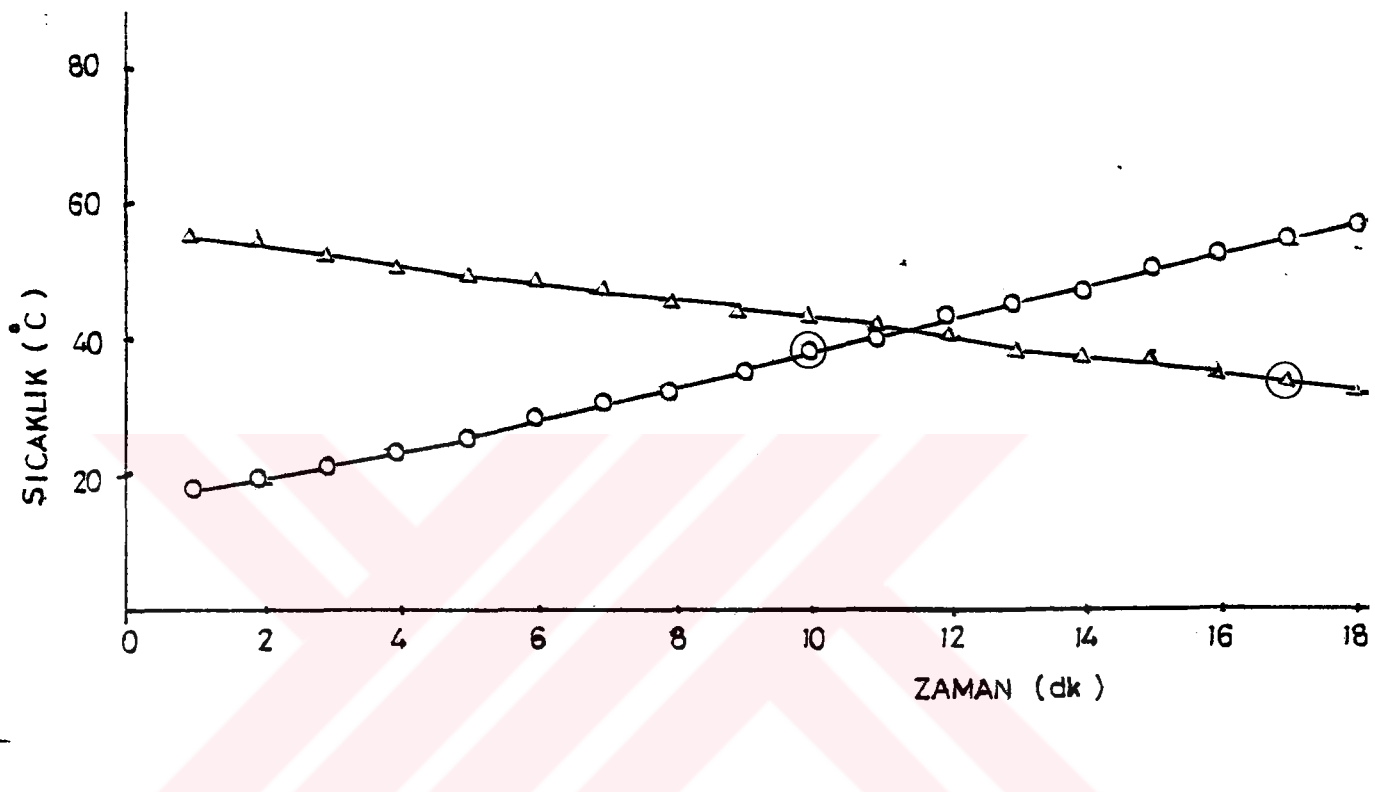
Tablo 4.1.3. Aseton + Su çözücü içinde $10^{-1} M [Co(H_2O)_6]^{+2}$ nin sıcaklık, dalga sayısı ve absorbans değerleri :

Sıcaklık ($^{\circ}C$)	Pik		Çukur	
	\bar{v} (cm^{-1})	ABS	\bar{v} (cm^{-1})	ABS
20.0	14900	0.590	13110	0.023
	16550	0.370	16390	0.366
	19470	0.627	17520	0.259
25.0	14930	0.591	17520	0.259
	19510	0.626		
30.0	14920	0.667	17520	0.281
	19390	0.632		
35.0	14920	0.777	13140	0.024
	16580	0.475	16350	0.472
	19470	0.640	17570	0.311
40.0	14920	0.896	13290	0.026
	19430	0.648	17620	0.342
45.0	14920	1.072	12770	0.025
	19410	0.660	12680	0.383
50.0	14930	1.244	12660	0.026
	19370	0.670	17740	0.421

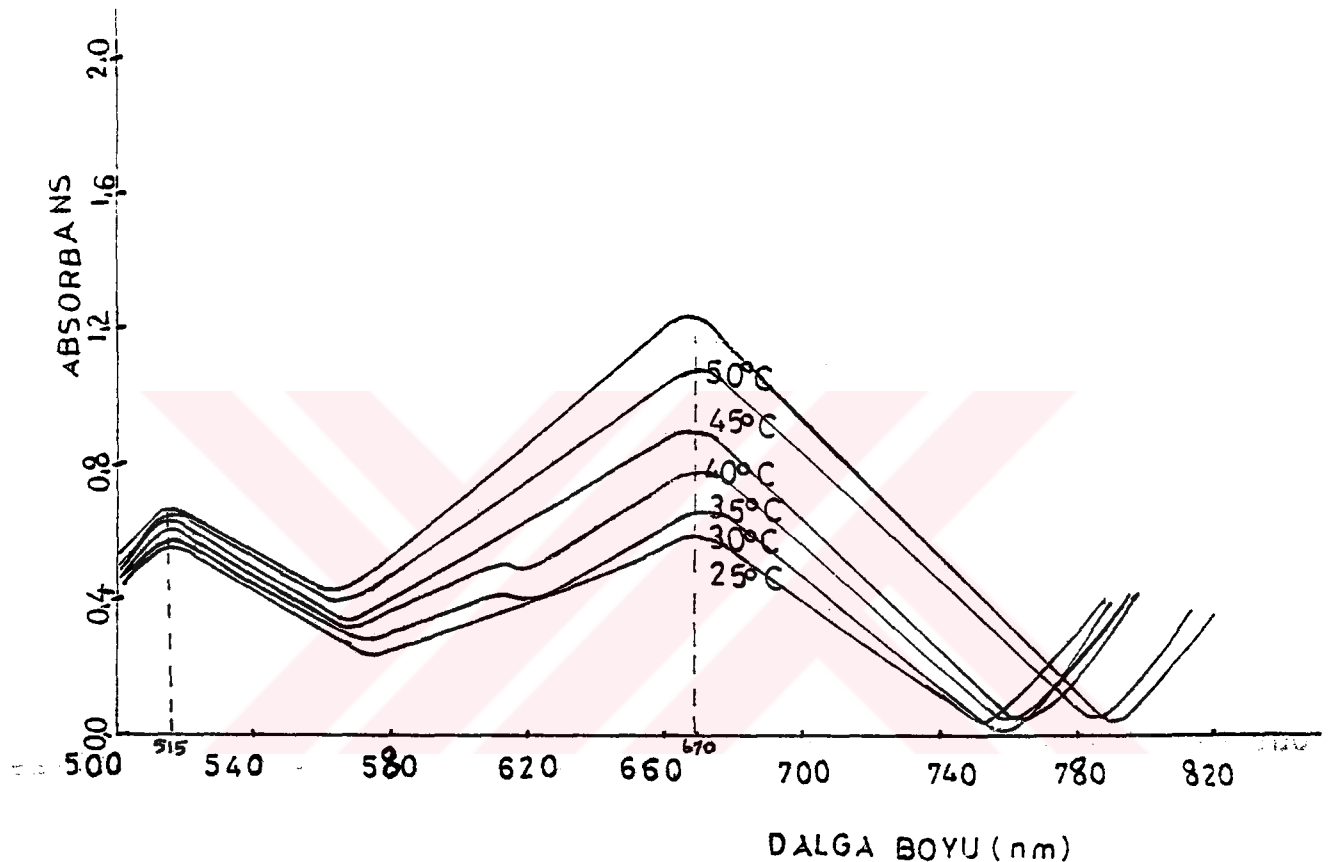
Tablo 4.1.4. Etil alkol çözücüsü içinde $10^{-1} M [Ca(H_2O)_6]^{+2}$ nin sıcaklık, dalga boyu ve absorbans değerleri :

Sıcaklık ($^{\circ}C$)	Pik		Çukur	
	λ (nm)	ABS	λ (nm)	ABS
25.0	664.5	1.688	550.0	0.623
	523.0	0.693		
30.0	665.0	1.731	777.0	0.011
	523.0	0.696	550.0	0.631
35.0	664.5	2.081	775.0	0.015
	526.0	0.721	543.5	0.691
40.0	665.0	2.404	779.5	0.016
	527.0	0.747	539.0	0.740
45.0	681.5	2.466	781.0	0.016
50.0	688.0	2.466	783.0	0.018

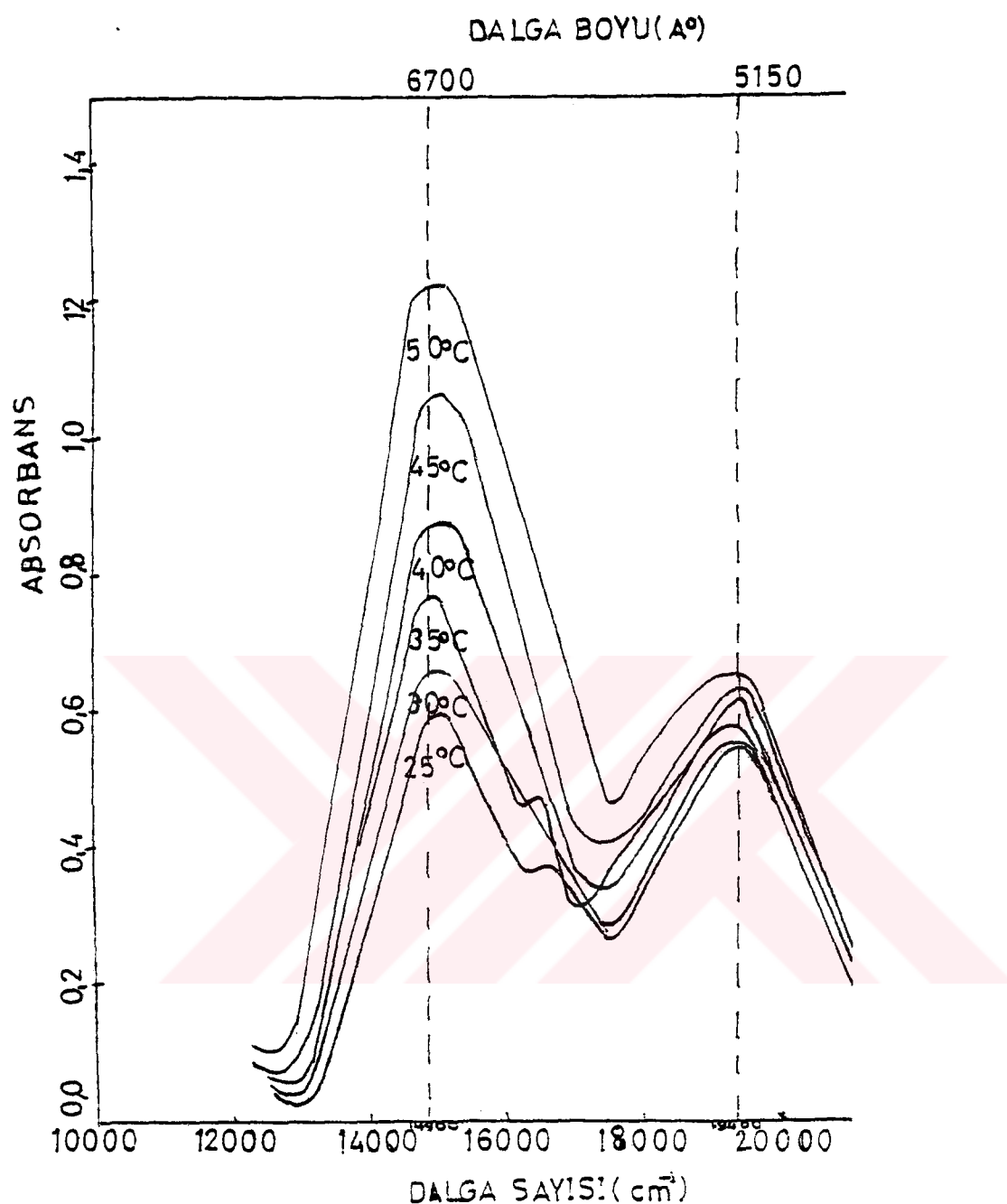
Tablo 4.1.1,2,3 ve 4 de verilen değerlerin eğrileri Şekil 4.1.1,2,3 ve 4 de çizilmiştir.



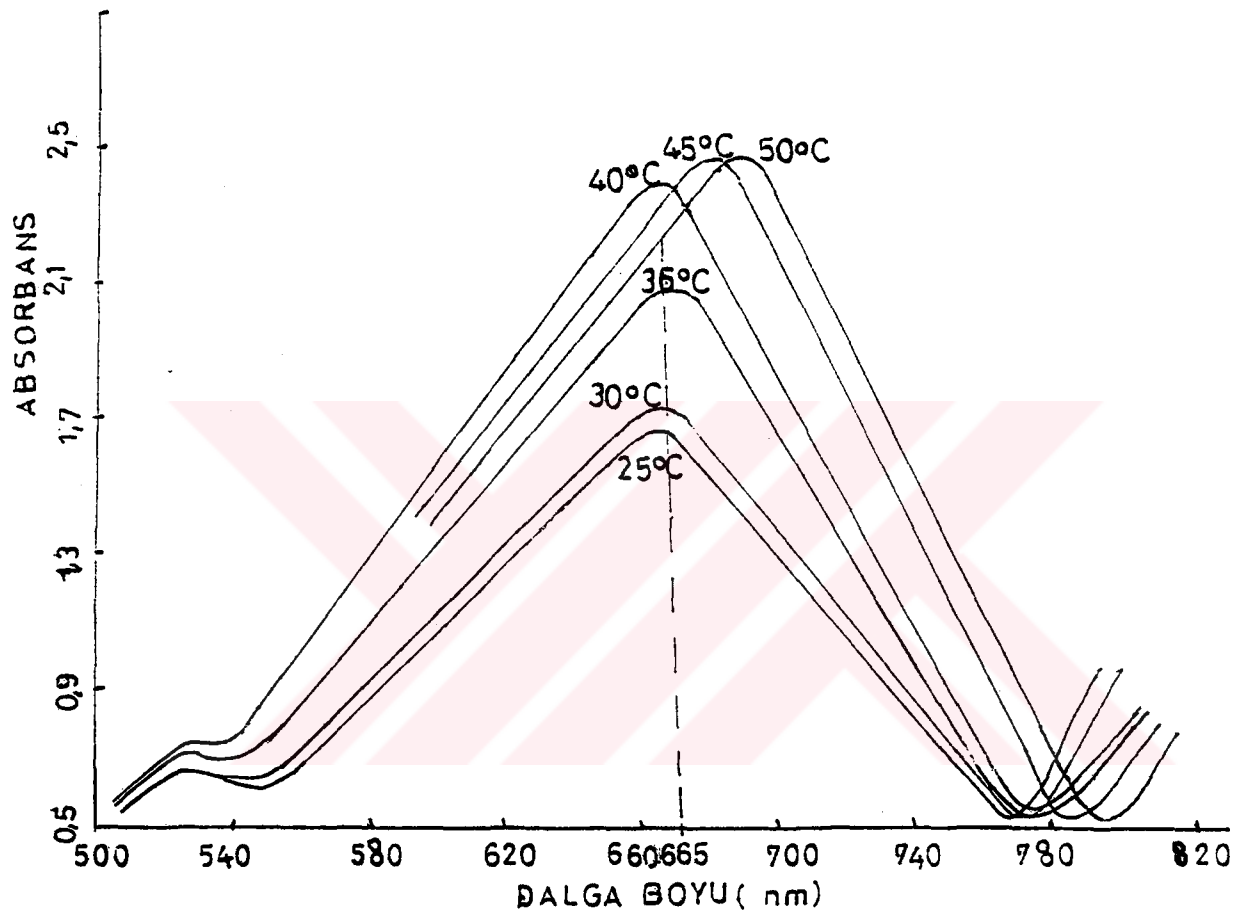
Şekil 4.1.1. $[\text{Co}(\text{H}_2\text{O})_6]^{+2}$ nin ısınma ve soğuma eğrileri.



Sekil 4.1.2. 10^{-1} M aseton + su çözücü içindeki $[\text{Co}(\text{H}_2\text{O})_6]^{+2}$ nin dalga boyu, absorbans eğrileri.



Sekil 4.1.3. $10^{-1} \text{ M } [\text{Co}(\text{H}_2\text{O})_6]^{+2}$ nin dalga sayısı ve absorbans eğrileri.
cözücü aseton + su



Sekil 4.1.4. 10^{-1}M Etil alkol çözücüsü içindeki $[\text{Co}(\text{H}_2\text{O})_6]^{\text{+}2}$ nin dalga boyu ve absorbans eğrileri.

4.2. $\left[(\text{CH}_3\text{CH}_2)_2\text{NH}_2 \right]_2 \text{CuCl}_4$ Kompleks bileşığıne ait ısınma ve soğuma ile sabit sıcaklıklarda çeşitli dalga boyalarındaki absorbans değerleri Tablo 4.2.1, 2, 3, 4 ve 5 de verilmiştir.

Tablo 4.2.1. $\left[(\text{CH}_3\text{CH}_2)_2\text{NH}_2 \right]_2 \text{CuCl}_4$ ün kompleks bileşığıne ait ısınma ve soğuma değerleri:

Zaman (dk)	Sıcaklık ($^{\circ}\text{C}$)	
	Isınma	Soğuma
1	43.0	53.0
2	45.0	51.0
3	47.0	50.0
4	49.0	49.0
5	51.0	48.0
6	53.0	47.0
7	55.0	46.0
8	57.0	45.0
9	59.0	44.0
10	61.0	43.0

Tablo 4.2.4. Izopropil alkol çözücü içinde 0,14 M $\left[\text{CH}_3\text{CH}_2\right]_2\text{NH}_2 \cdot 2\text{CuCl}_4$ ün sıcaklık, dalga boyu ve absorbans değerleri :

Sıcaklık ($^{\circ}\text{C}$)	Max		Min	
	λ (nm)	ABS	λ (nm)	ABS
20.0	452,0	2.470	546.0	0.641
			420.0	2.467
25.0	452.0	2.470	548.0	0.689
			420.0	2.467
30.0	452.0	2.470	549.0	0.705
			420.0	2.467
35.0	452.0	2.470	546.0	0.714
			420.0	2.467
40.0	452.0	2.470	547.0	0.736
			420.0	2.467
45.0	452.0	2.470	548.0	0.752
			420.0	2.467
50.0	452.0	2.470	547.0	0.769
			420.0	2.467
55.0	452.0	2.470	547.0	0.780
			420.0	2.467
60.0	452.0	2.470	547.0	0.789
			420.0	2.467
65.0	452.0	2.470	548.0	0.776
			420.0	2.467
70.0	452.0	2.470	548.0	0.776
			420.0	2.467

Tablo 4.2.3. Izopropil alkol çözücü içinde 10^{-5} M $\left[(\text{CH}_3\text{CH}_2)_2\text{NH}_2\right]_2\text{CuCl}_4$ ün sıcaklık, dalga boyu ve absorbans değerleri:

Sıcaklık ($^{\circ}\text{C}$)	Max		Min	
	λ (nm)	ABS	λ (nm)	ABS
25.0	293.0	1.692	540.0	-0.004
			215.0	0.457
30.0	293.0	1.698	546.0	-0.004
			215.0	0.457
35.0	292.0	1.701	551.0	-0.004
			216.0	0.459
40.0	292.0	1.723	562.0	-0.004
	206.0	0.500	215.0	0.457
45.0	292.0	1.718	573.0	-0.003
	206.0	0.497	215.0	0.457
50.0	292.0	1.724	548.0	-0.002
	207.0	0.496	215.0	0.456
55.0	292.0	1.747	544.0	-0.002
	207.0	0.505	216.0	0.464
60.0	292.0	1.760	540.0	-0.002
	207.0	0.520	216.0	0.473

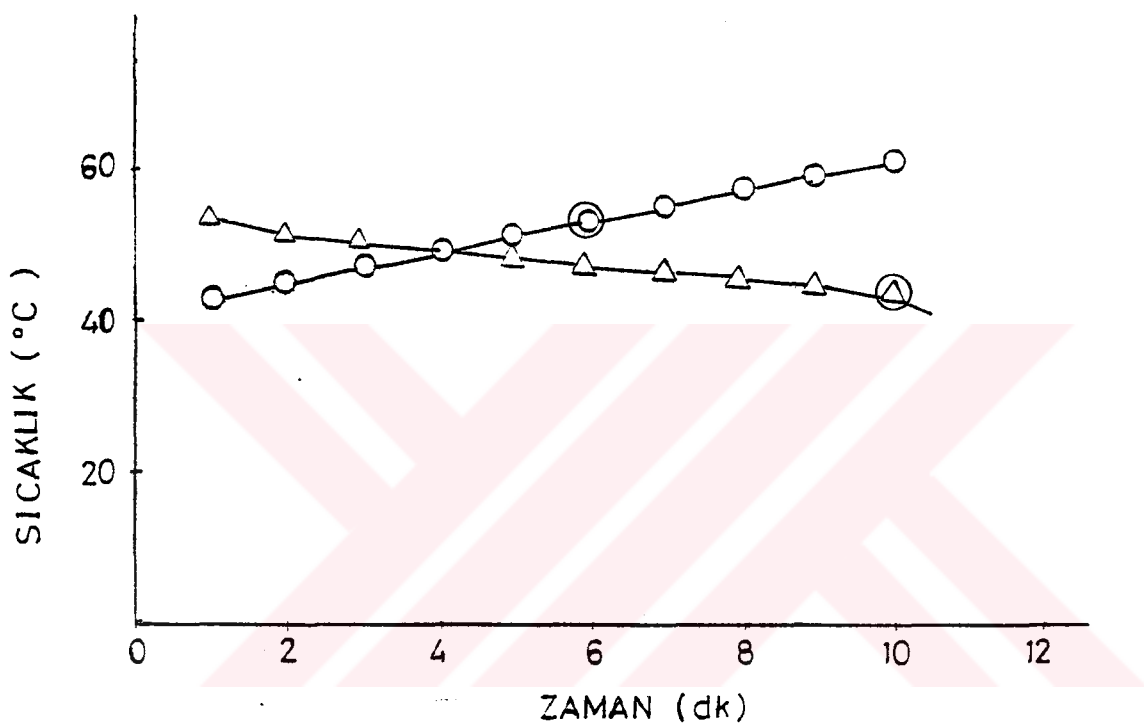
Tablo 4.2.4. Etil alkol çözucusü içinde $10^{-1} M$ $\left[(\text{CH}_3\text{CH}_2)_2\text{NH}_2^- \right]_2\text{CuCl}_4$ ün sıcaklık, dalga boyu ve absorbans değerleri :

Sıcaklık ($^{\circ}\text{C}$)	Max		Min	
	λ (nm)	ABS	λ (nm)	ABS
25.0	455.5	2.462	558.0	0.041
			419.0	2.458
30.0	455.5	2.462	557.0	0.042
			419.0	2.458
35.0	455.5	2.462	557.0	0.042
			419.0	2.458
40.0	455.5	2.462	557.0	0.042
			419.0	2.458
45.0	455.5	2.462	558.0	0.046
			419.0	2.458
50.0	455.5	2.462	562.0	0.050
			419.0	2.458
55.0	455.5	2.462	561.0	0.051
			419.0	2.458
60.0	455.5	2.462	562.0	0.054
			419.0	2.458
65.0	455.5	2.462	561.0	0.057
			419.0	2.458
70.0	455.5	2.462	564.0	0.061
			419.0	2.458

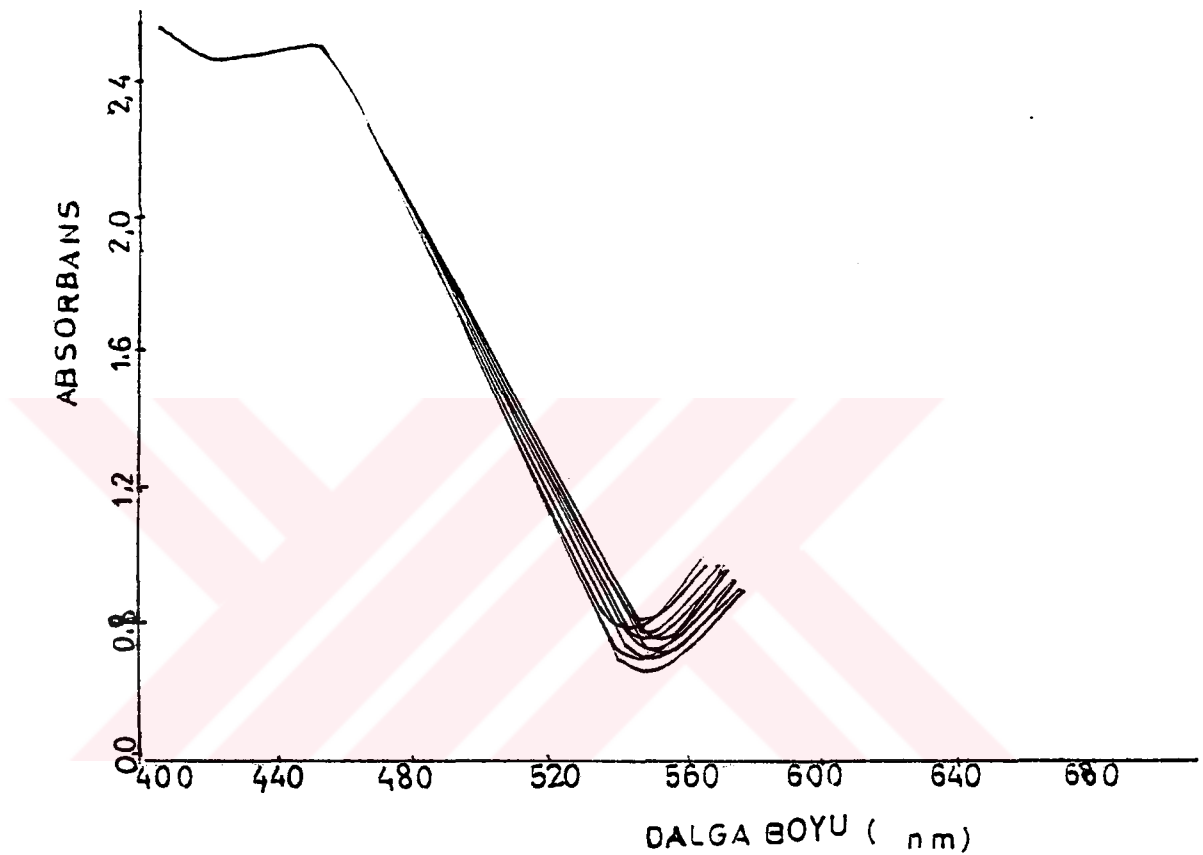
Tablo 4.2.5. Etil alkol çözücü içinde $10^{-5} M$ $\left[(\text{CH}_3\text{CH}_2)_2\text{NH}_2\right]_2\text{CuCl}_4$ ün sıcaklık, dalga boyu ve absorbans değerleri :

Sıcaklık ($^{\circ}\text{C}$)	Max		Min	
	λ (nm)	ABS	λ (nm)	ABS
25.0	289.0	1.409	534.0	0.005
30.0	288.0	1.413	544.0	0.005
35.0	289.0	1.419	562.0	0.014
40.0	290.0	1.420	541.0	0.020
45.0	290.0	1.420	541.0	0.007
50.0	290.0	1.410	551.0	0.006
55.0	292.0	1.424	577.0	0.005
60.0	292.0	1.467	559.0	0.021
65.0	292.0	1.481	535.0	0.028

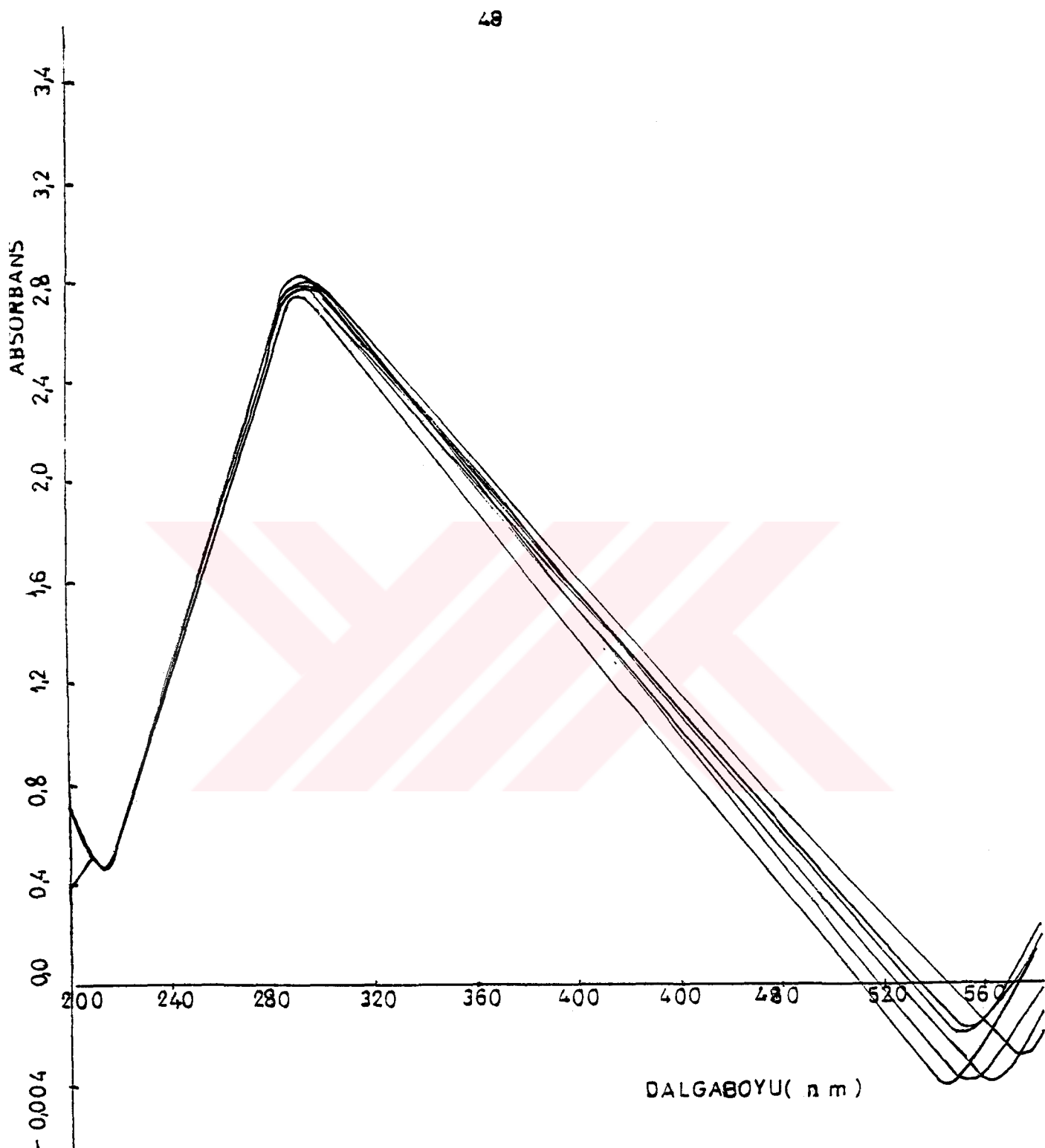
Tablo 4.2.1,2,3,4 ve 5 de verilen değerlerin eğrileri Şekil 4.2.1, 2,3,4 ve 5 de çizilmiştir.



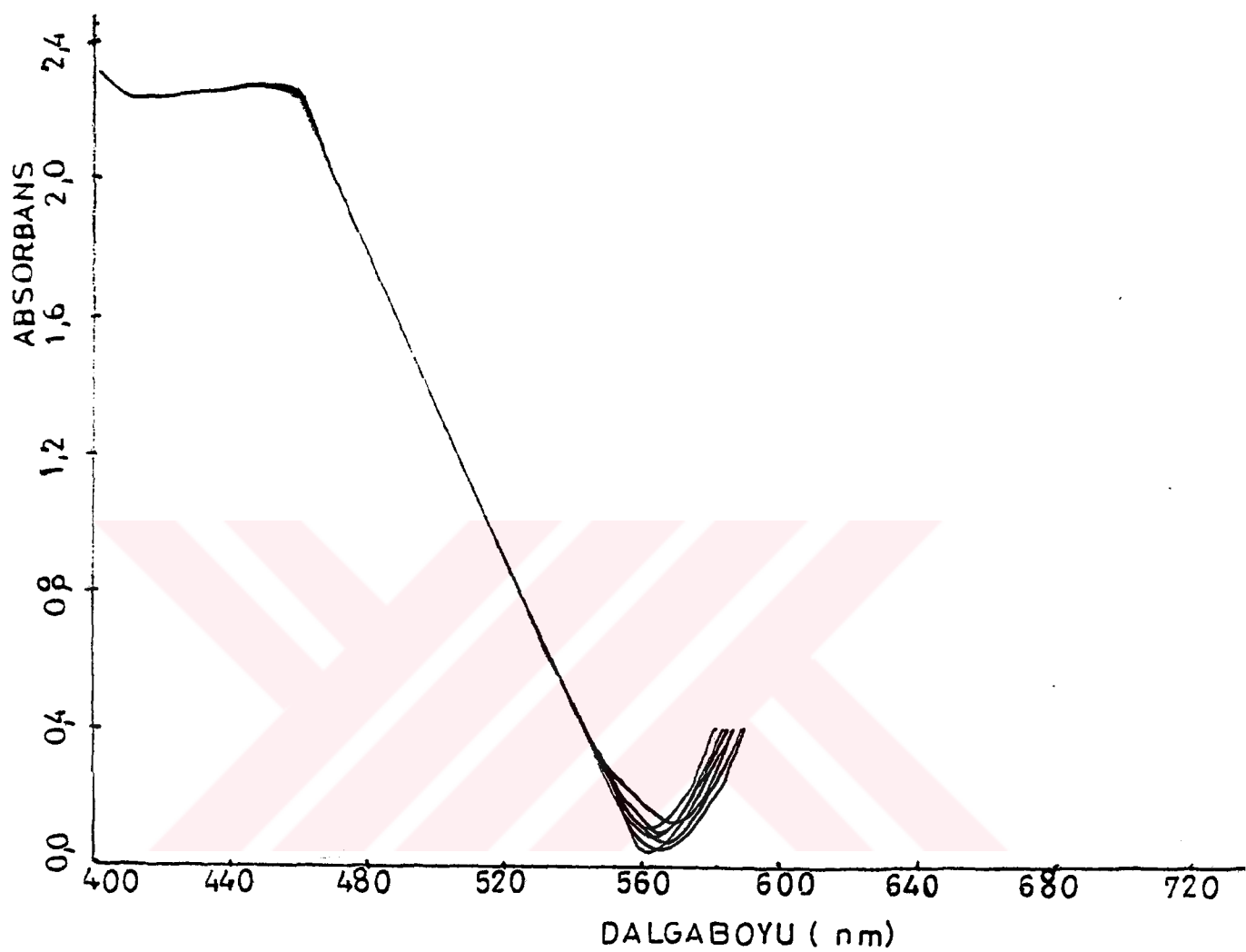
Şekil 4.2.1. $\left[(\text{CH}_3\text{CH}_2)_2\text{NH}_2 \right]_2 \text{CuCl}_4$ ün ıstınma ve soğuma eğrileri.



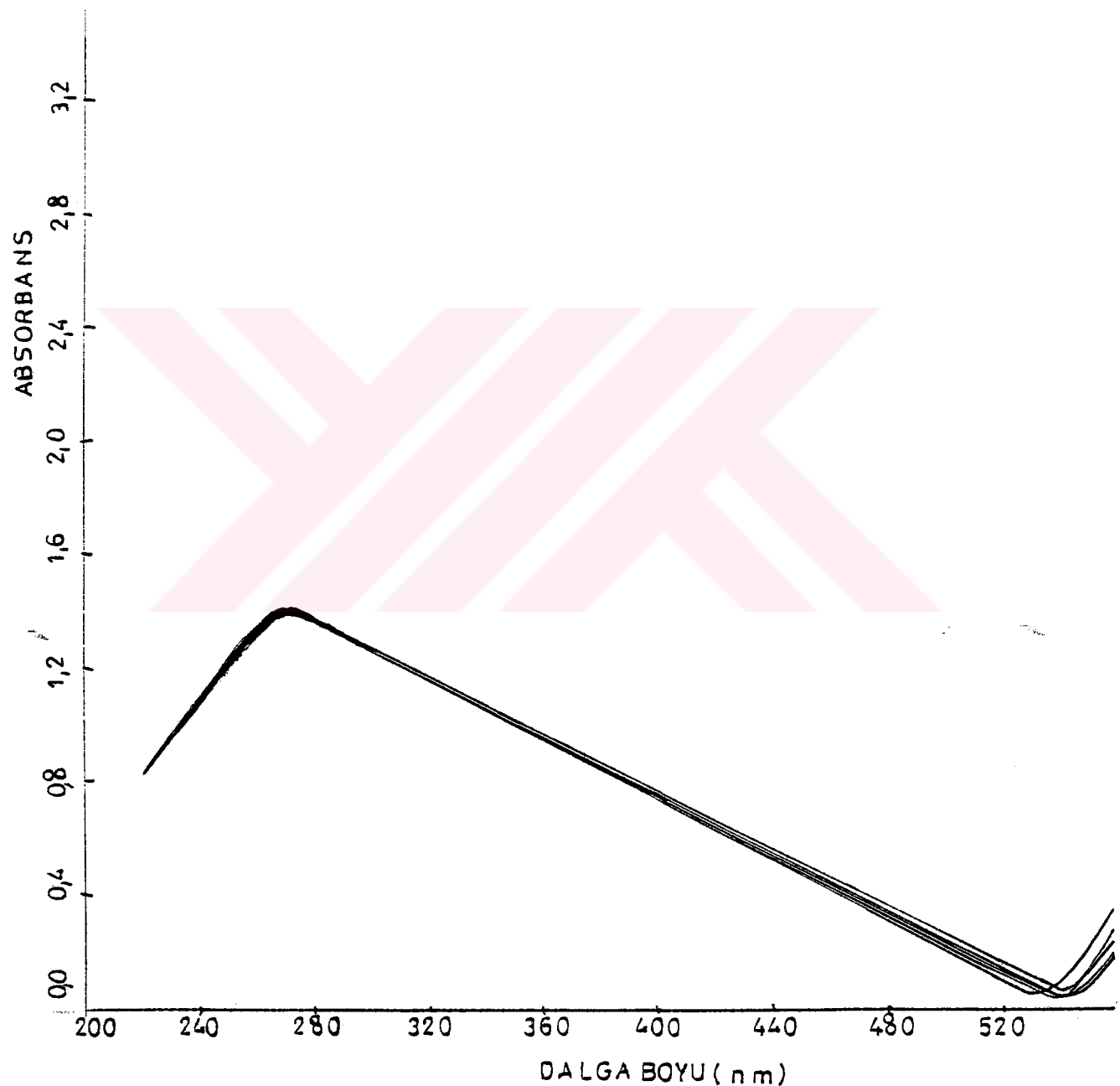
Şekil 4.2.2. 0,14 M 10 ml izopropil alkol çözücüsü içindeki
 $\left[(\text{CH}_3\text{CH}_2)_2\text{NH}_2 \right]_2\text{CuCl}_4$ ün dalga boyu ve absorbans eğrileri.



Sekil 4.2.3. 10^{-5} M 25 ml izopropil alkol çözucusu içindeki,
 $\left[(\text{CH}_3\text{CH}_2)_2\text{NH}_2\right]_2\text{CuCl}_4$ ün dalga boyu ve absorbans eğrileri.



Şekil 4.2.4. 10^{-1} M etil alkol çözücüsü içindeki $\left[(\text{CH}_3\text{CH}_2)_2\text{NH}_2\right]_2\text{CuCl}_4$ ün dalga boyu ve absorbans eğrileri.



Sekil 4.2.5. 10^{-5} M 25ml etil alkol çözücü içindeki $\left[(\text{CH}_3\text{CH}_2)_2\text{NH}_2\right]_2\text{CuCl}_4$ ün dalga boyu ve absorbans eğrileri.

4.3. Cu_2HgI_4 kompleks bileşiğine ait ısınma ve soğuma ile sabit sıcaklıklarda çeşitli dalga boyalarındaki absorbans değerleri Tablo 4.3.1 ve 2 de verilmiştir.

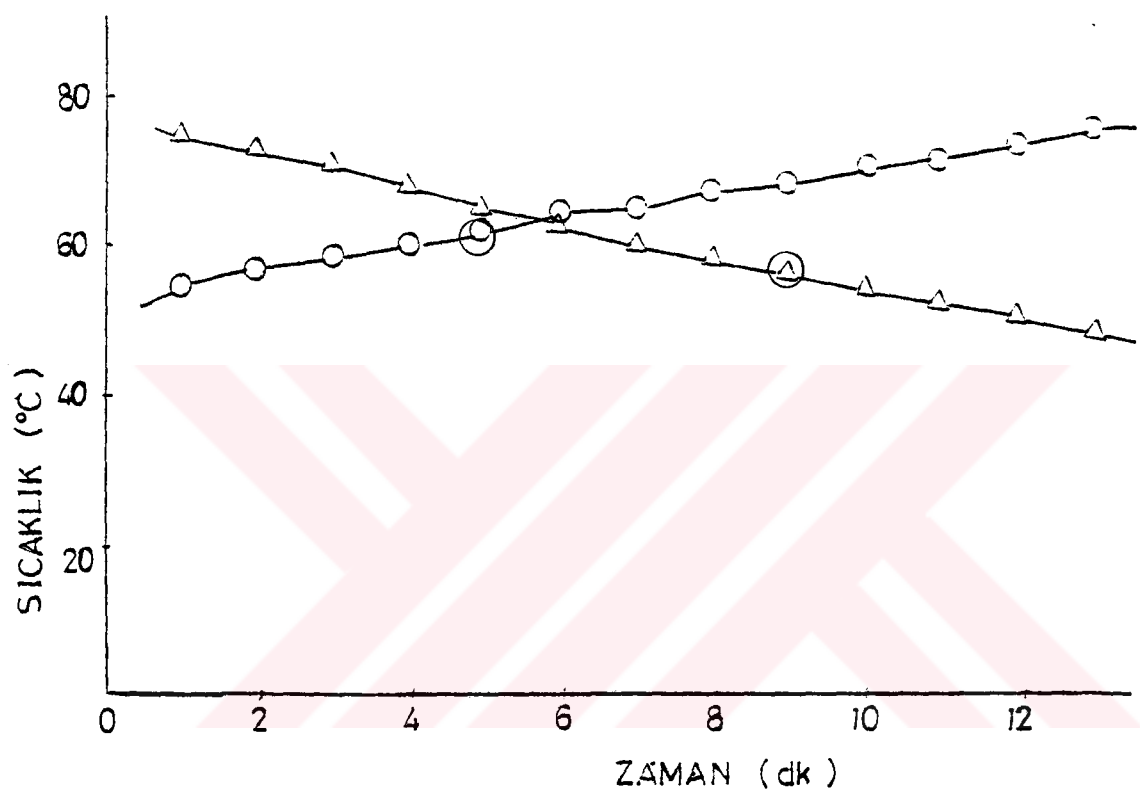
Tablo 4.3.1. Cu_2HgI_4 Kompleks bileşiğine ait ısınma ve soğuma değerleri.

Zaman (dk)	Sıcaklık ($^{\circ}\text{C}$)	
	Isınma	Soğuma
1	55.0	75.0
2	57.0	73.0
3	59.0	71.0
4	60.0	68.0
5	62.0	65.0
6	64.0	63.0
7	65.0	60.0
8	67.0	58.0
9	68.0	56.0
10	70.0	54.0
11	71.0	52.0
12	73.0	50.0
13	75.0	48.0

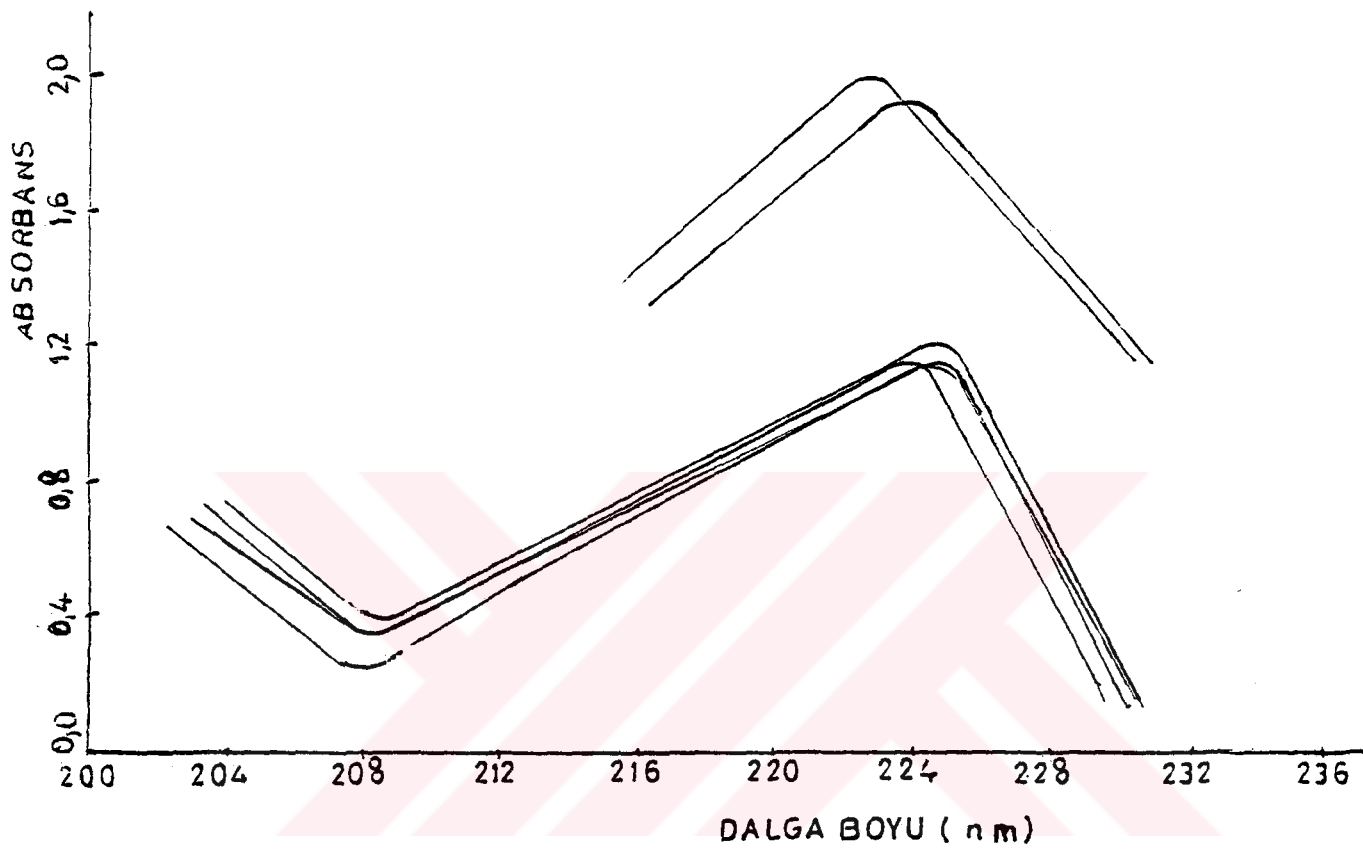
Tablo 4.3.2. Cu_2HgI_4 ün sıcaklık, dalga boyu ve absorbans değerleri.

Sıcaklık ($^{\circ}\text{C}$)	Max		Min	
	λ (nm)	ABS	λ (nm)	ABS
20.0	224.0	1.942		
40.0	224.0	1.942		
45.0	223.0	2.047		
50.0	225.0	1.212	208.0	0.240
55.0	225.0	1.155	208.0	0.366
60.0	225.0	1.149	208.0	0.369
65.0	224.0	1.143	208.5	0.369
70.0	224.0	1.142	209.0	0.376

Tablo 4.3.1 ve 2 de verilen değerlerin eğrileri Şekil 4.3.1 ve 2 de çizilmiştir.



Şekil 4.3.1. Cu_2HgI_4 ün ısınma ve soğuma eğrileri.



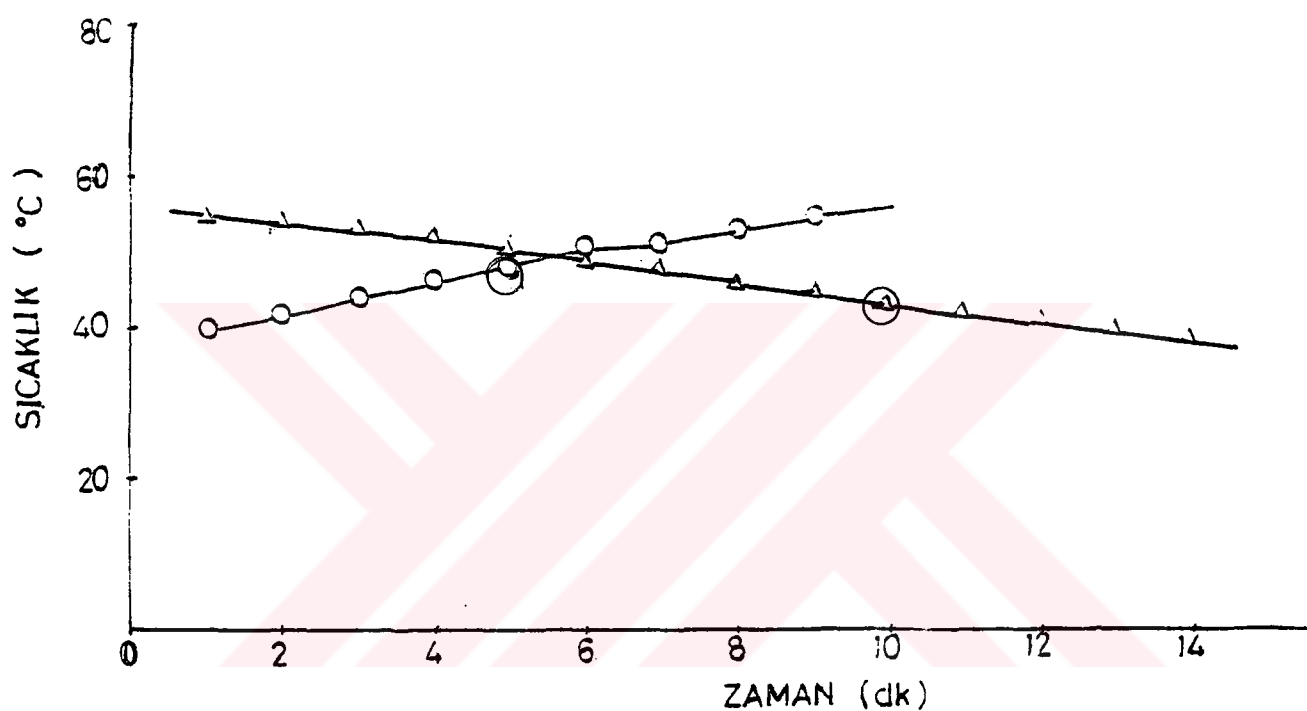
Şekil 4.3.2. Cu_2HgI_4 ün dalga boyu ve absorbans eğrileri.

4.4. Ag_2HgI_4 Kompleks bileşигine ait ısınma ve soğuma değerleri Tablo 4.4 te verilmiştir.

Tablo 4.4. Ag_2HgI_4 Kompleks bileşigine ait ısınma ve soğuma değerleri :

Zaman (dk)	Sıcaklık ($^{\circ}\text{C}$)	
	ısınma	soğuma
1	40.0	55.0
2	42.0	54.0
3	44.0	53.0
4	46.0	52.0
5	48.0	50.0
6	50.0	49.0
7	51.0	48.0
8	53.0	46.0
9	55.0	45.0
10		43.0
11		42.0
12		41.0
13		40.0
14		39.0

Tablo 4.4. te verilen değerlerin eğrileri Şekil 4.4. te çizilmiştir.



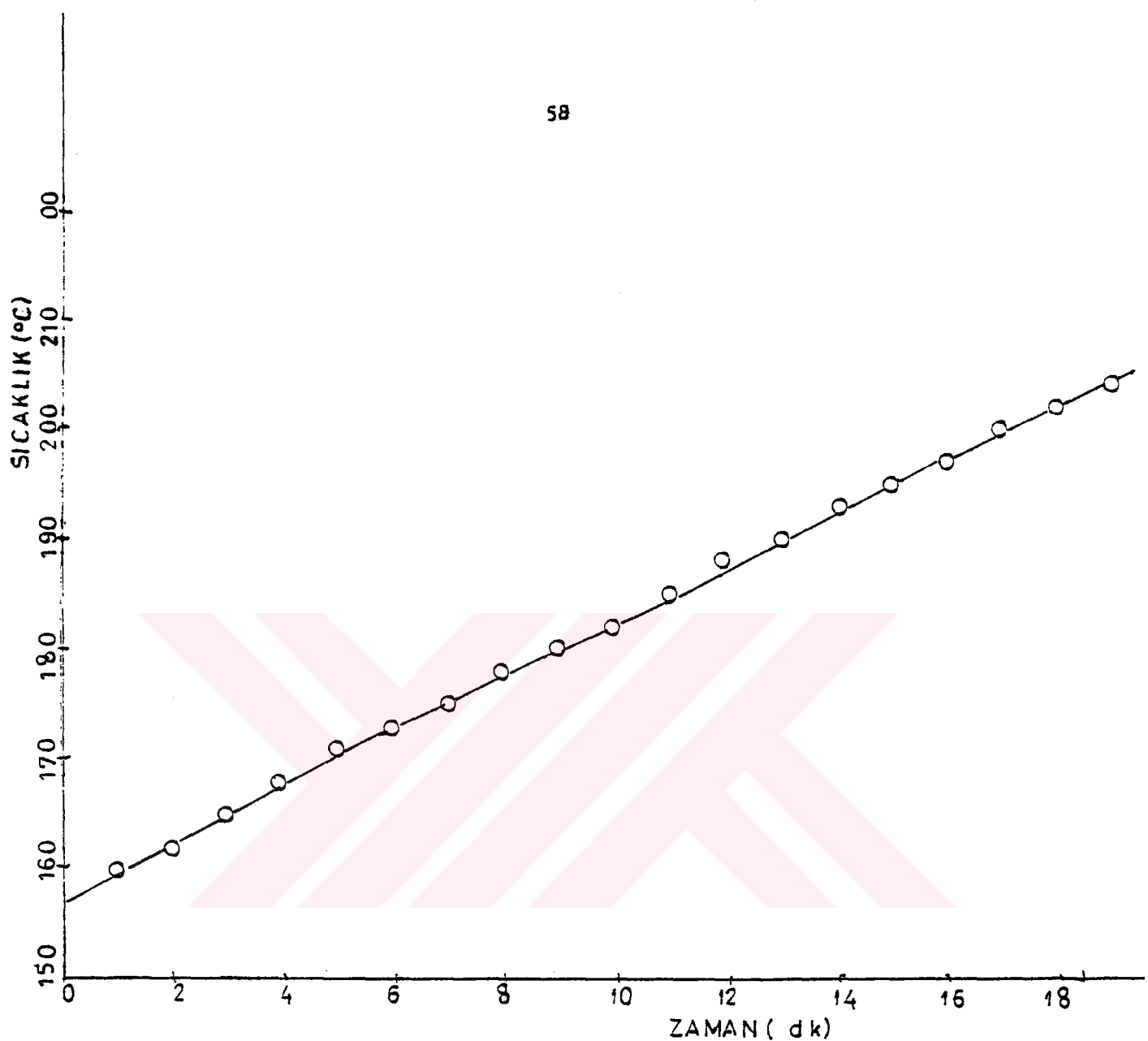
Şekil 4.4. Ag_2HgI_4 ün ısınma ve soğuma eğrileri.

4.5. $\text{Co}(\text{Py})_2\text{Cl}_2$ Kompleks bileşигine ait ısınma değerleri Tablo 4.5 te verilmiştir.

Tablo 4.5. $\text{Co}(\text{Py})_2\text{Cl}_2$ Kompleks bileşigine ait ısınma değerleri :

Zaman (dk)	Sıcaklık ($^{\circ}\text{C}$)
1	79.0
2	82.0
3	85.0
4	88.0
5	90.0
6	92.0
7	95.0
8	98.0
9	101.0
10	105.0

Tablo 4.5. te verilen değerlerin eğrileri Şekil 4.5 te çizilmiştir.



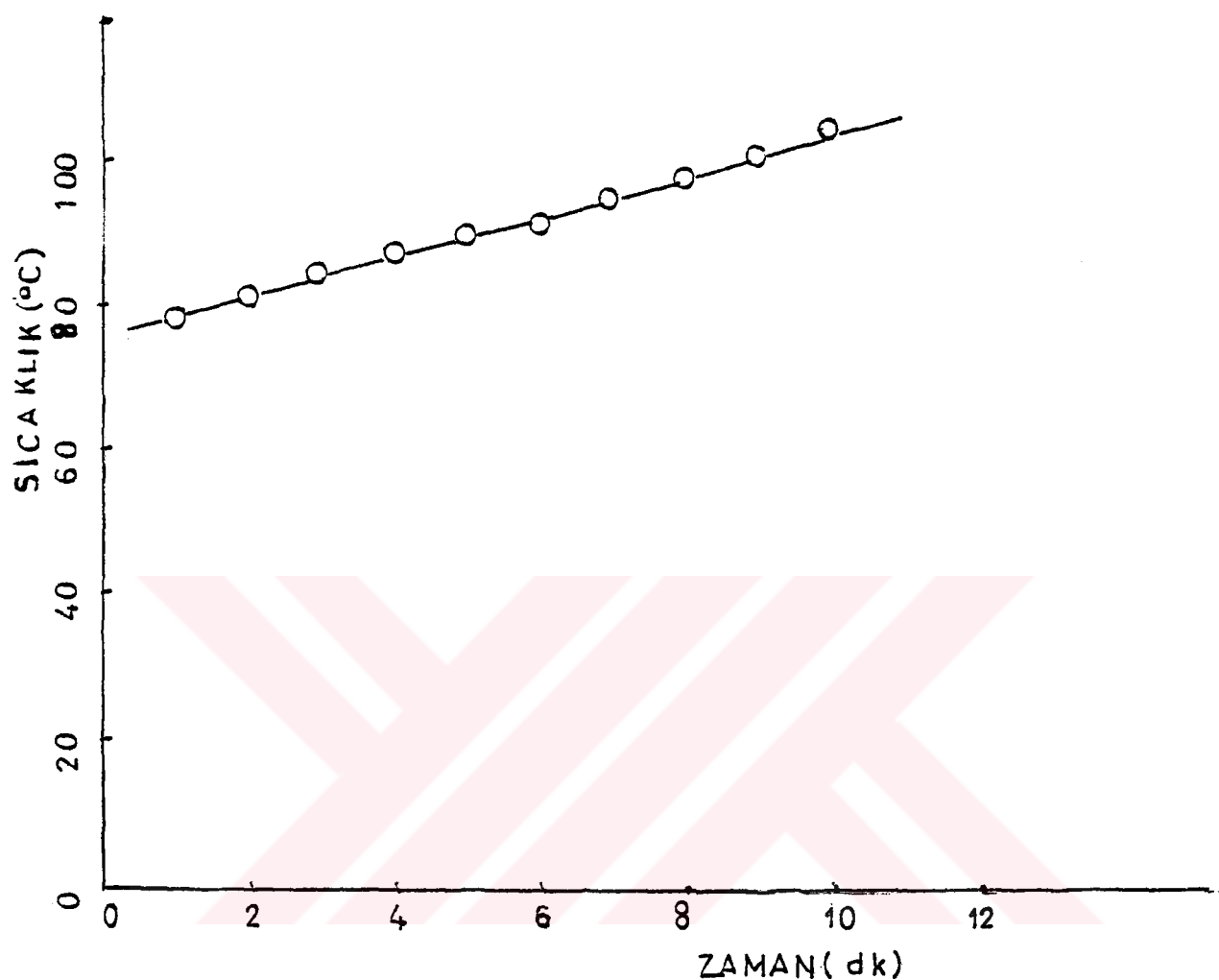
Şekil 4.5. $\text{Co}(\text{Py})_2\text{Cl}_2$ nin ısınma eğrisi.

4.6. $[\text{Co}(\text{NH}_3)_5\text{Cl}] \text{Cl}_2$ Kompleks bileşığıne ait ısınma değerleri Tablo 4.6 te verilmiştir.

Tablo 4.6. $[\text{Co}(\text{NH}_3)_5\text{Cl}] \text{Cl}_2$ Kompleks bileşığıne ait ısınma değerleri :

Zaman (dk)	Sıcaklık ($^{\circ}\text{C}$)
1	160.0
2	162.0
3	165.0
4	168.0
5	171.0
6	173.0
7	175.0
8	178.0
9	180.0
10	182.0
11	185.0
12	188.0
13	190.0
14	193.0
15	195.0
16	197.0
17	200.0
18	202.0
19	204.0
20	206.0

Tablo 4.6 da verilen değerlerin eğrisi Şekil 4.6 da çizilmiştir.



Şekil 4.6. $[\text{Co}(\text{NH}_3)_5\text{Cl}] \text{Cl}_2$ nin ısınma eğrisi.

Erime noktası cihazında bileşiklerin zamanla ısınma ve soğuma sıcaklıklarının tayini ile elde edilen değerlerden yararlanılarak çizilen Şekil 4.1.1, 4.2.1, 4.3.1, 4.4, 4.5, 4.6 da sırasıyla $\text{CoCl}_2 \cdot 6\text{H}_2\text{O}$, $[(\text{CH}_3\text{CH}_2)_2\text{NH}_2]_2\text{CuCl}_4$, Ag_2HgI_4 , $[\text{Co}(\text{NH}_3)_5\text{Cl}] \text{Cl}_2$, $\text{Co}(\text{Py})_2\text{Cl}_2$ bileşiklerinin histeresis eğrileri görülmektedir. Bu eğrilerden bulunan termokromik renk değişimlerin alt ve üst sıcaklık sınırları Tablo 4.7 de verilmiştir.

Tablo 4.7. Termokromik özelliği incelenen bileşiklerin renk değişimlerinin meydana geldiği alt ve üst sıcaklık sınırları :

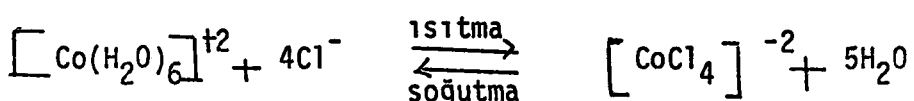
Bileşik	Alt Sıcaklık Sınırı ($^{\circ}\text{C}$)	Üst Sıcaklık Sınırı ($^{\circ}\text{C}$)	$t^{\circ}\text{C}$
$\text{CoCl}_2 \cdot 6\text{H}_2\text{O}$	33.0	38.0	5.0
$[(\text{CH}_3\text{CH}_2)_2\text{NH}_2]_2\text{CuCl}_4$	43.0	47.0	4.0
Cu_2HgI_4	56.0	62.0	6.0
Ag_2HgI_4	43.0	48.0	5.0

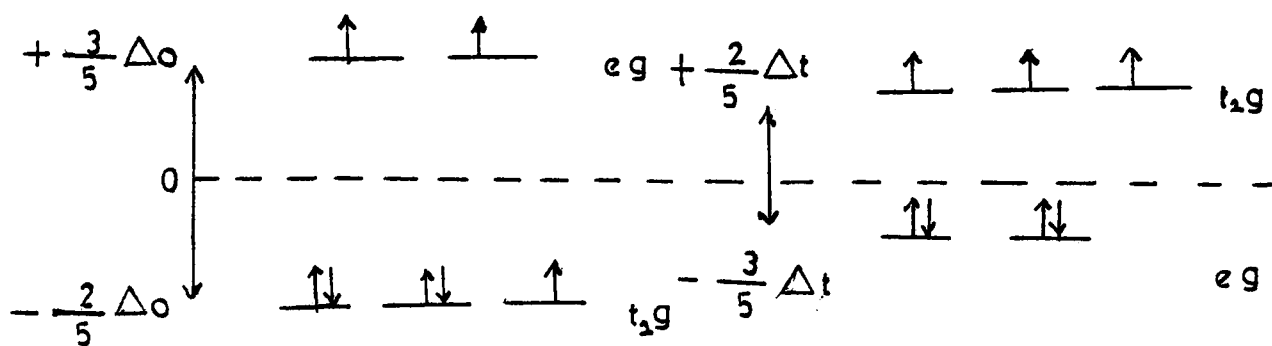
BÖLÜM 5

TARTIŞMA

Tablo 4.7 de görüldüğü gibi Termokromizm gösteren kompleks katı bileşikleri ısıtırken ortaya çıkan renk değişiminin, başlangıç sıcaklığı ile bileşiği soğuturken görülen renk değişiminin başlangıç sıcaklığı arasında bir fark vardır. Termal histeresis etkisinin bir ölçüsü olan bu sıcaklık farkı Cu_2HgI_4 bileşiği için diğerlerine göre daha büyktür. $[(\text{Cu}_3\text{CH}_2)_2\text{NH}_2]_2\text{CuCl}_4$ bileşiği için ise en düşük değerdir. Termal histeresis etkileri karşılaştırılmak suretiyle bileşiklerin yapısal kararlılıklar hakkında bilgi edinilebilir. Büyük bir histeresis etkisi gösteren bileşığın yapısal kararlılığı daha büyktür. Yapısal kararlılığında ligand alan stabilizasyon enerjisi belirleyebilir.

Ligand alan stabilizasyon enerjisinde tüm d orbitallerinin sahip oldukları enerji t_{2g} orbitaleri için $2/5 \Delta$ nın aşağısında e_g orbitaleri için ise $3/5 \Delta$ nın yukarısındadır. (Cotton, F.A., 1964). $[\text{Co}(\text{H}_2\text{O})_6]^{+2}$ kompleks bileşığın spektrumunda pembe absorbsiyon bantı ve mavi kompleks 515 ve 670 nm civarındadır (Şekil 4.1.3.). Yapı düşük sıcaklıkta oktaedral iken yüksek sıcaklıkta tetrahedraldır. Aseton içindeki kobalt kompleksinin çözeltisi termokromiktir. Sıcaklıktaki artış ile pembe kobalt çözeltisi maviye döner.





Şekil 5.1. $[\text{Co}(\text{H}_2\text{O})_6]^{+2}$ oktaedral simetri ve CoCl_4^{-2} tetrahedral simetri kompleksleri için d orbitallerinin bölünme diyagramları.

$[\text{Co}(\text{H}_2\text{O})_6]^{+2}$ ve $[\text{CoCl}_4]^{-2}$ d^7 zayıf alan konfigrasyonuna tekabül eder. Ligand alan içindeki stabilizasyon enerjileri hem oktaedral hem de tetrahedral alan için Şekil 5.1. den yararlanılarak hesaplanabilir.

Oktahedral alan için stabilizasyon enerjisi : E_{s_o}

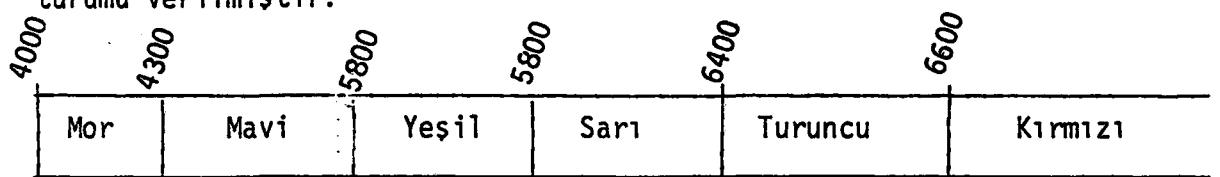
$$E_{s_o} = \left[\left(-\frac{2}{5} \right) \cdot 5 + \left(+\frac{3}{5} \right) \times 2 \right] \Delta_o - \left(\frac{4}{5} \right) \Delta_o$$

Tetrahedral alan için stabilizasyon enerjisi E_{s_t}

$$E_{s_t} = \left[\left(-\frac{3}{5} \right) \cdot 4 + \left(+\frac{2}{5} \right) \cdot 3 \right] \Delta_t = -\left(\frac{6}{5} \right) \Delta_t$$

$$\Delta E = E_{s_o} - E_{s_t} \quad \Delta t = -\frac{1}{2} \Delta_o$$

Sekil 4.1.3 de $[\text{Co}(\text{H}_2\text{O})_6]^{+2}$ nin görünür bölge absorbsiyon spektrumu verilmiştir.



19400 cm^{-1} (5150 \AA^0) civarındaki bant oktaedral alanın varlığını, 14900 cm^{-1} (6700 \AA^0) civarındaki bant ise tetrahedral alanın varlığını gösterir. Bu spektrumdan Δ_o ve Δ_t yi bulabiliriz-

$$\Delta_o = -\frac{Nhc}{\lambda} \quad \Delta_o = \frac{(6,02 \times 10^{23}) (1,5836 \times 10^{-37}) (3 \times 10^{10})}{(5150 \times 10^{-8})}$$

$$\Delta_o = 55,53 \text{ kcal / mol}$$

$$\Delta_t = -\frac{Nhc}{\lambda} \quad \Delta_t = \frac{(6,02 \times 10^{23}) (1,5836 \times 10^{-37}) (3 \times 10^{10})}{(6700 \times 10^{-8})}$$

$$\Delta_t = 42,68 \text{ kcal / mol}$$

$$\text{Es}_o = -\frac{4}{5} \Delta_o \quad \text{Es}_o = -\frac{4}{5} (55,53) = -44,424 \text{ kcal / mol}$$

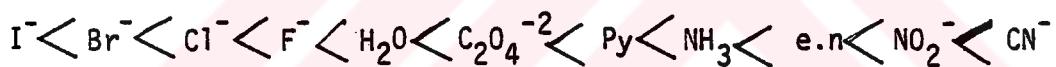
$$\text{Es}_t = -\frac{6}{5} \Delta_o \quad \text{Es}_t = -\frac{6}{5} (42,68) = -51,216 \text{ kcal / mol}$$

$$\Delta E = E_{s_0} - E_{s_t}$$

$$\Delta E = -44,424 + 51,216 \quad \Delta E = 6,792 \text{ kcal / mol}$$

Çiftleşme enerjisi, P , tüm nd orbitaleri için sabittir. Bu kompleks bileşığın yani Co^{+2} iyonunun oktaedral ligand alanı için $t_{\bar{2}}^5 e_g^2$ konfigürasyonu vardır. $\Delta_o > P$ dir. Tetrahedral ligand alanı ise, $t_{\bar{2}}^3 e_g^4$ konfigürasyonu vardır. $\Delta_t < P$ dir. $t_{\bar{2}}^3 e_g^4$ yüksek spin konfigürasyonu, $t_{\bar{2}}^5 e_g^2$ ise alçak spin konfigürasyonudur. P değerleri bir kaç istisna hariç bilinen değerlere sahiptir.

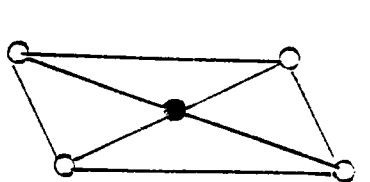
Ligandların kuvvetli bir alan oluşturabilme gücü aşağıdaki sıraya göre artar.



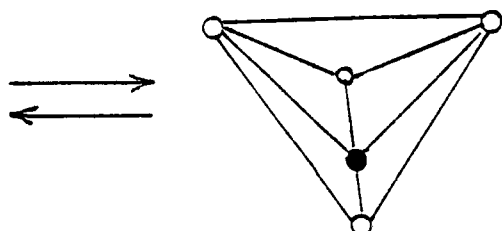
Bu sıraya göre su molekülleri Cl^- iyonlarından daha kuvvetli bir ligandtır. Oktaedral ligand alanında elektronlar dejenerasyonun kalkması nedeniyle enerji bakımından en küçük değere sahip olan $t_{\bar{2}}^5$ orbitalerini işgal edeceklerdir. Böylece düşük spinli yapı elde edilir. Kuvvetli ligand alanında düşük spin, zayıf ligand alanında ise yüksek spin yapı elde edilir. Burada $\text{H}_2\text{O}, \text{Cl}^-$ den daha kuvvetli ligand olduğundan düşük spinli yani oktaedral yapıyı verir. Cl^- iyonları ise daha zayıf ligand olduğundan yüksek spinli yani tetrahedral yapıyı verir.

Şekil 4.2.2,3,4 ve 5 de görüldüğü gibi $[(\text{CH}_3\text{CH}_2)_2\text{NH}_2]_2\text{CuCl}_4$ bileşığının etil alkol ve izopropil alkol içindeki çözeltileri ışığı absorb etmediğinden görünür bölgede absorbsiyon bantı vermedi. Kristal yapida

değil koordinasyon yapısında anyon tersinir bir termokromizm gösterdi, hibritleşme vardır, termokromik faz geçisi 52°C te yeşil kare düzlemden sarı tetrahedraledir.

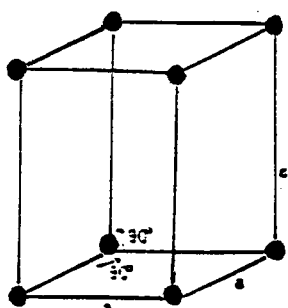


Düşük sıcaklık (yeşil)
kare düzlem

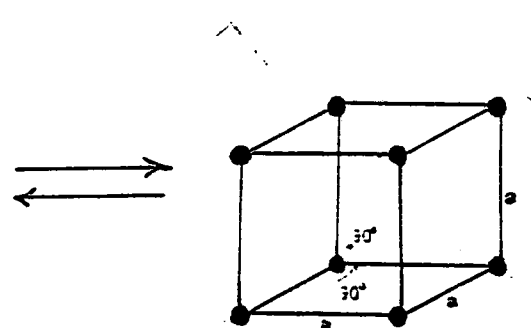


Yüksek sıcaklık (sarı)
tetrahedral

Şekil 4.3.2. de görüldüğü gibi Cu_2HgI_4 ve Ag_2HgI_4 bileşikleri kristal yapıda bir termokromizm gösterdi. Burada önemli olan anyon değil metallerin yükü ve çapıdır. Termokromik faz geçisleri Cu_2HgI_4 için 67°C te kırmızıdan kahverengiye, Ag_2HgI_4 için 47°C te sarıdan turuncuya tersinir bir renk değişimi verirken her ikisinin de kristal şekilleri tetragonalden kübik şecline tersinir olarak dönmektedir.



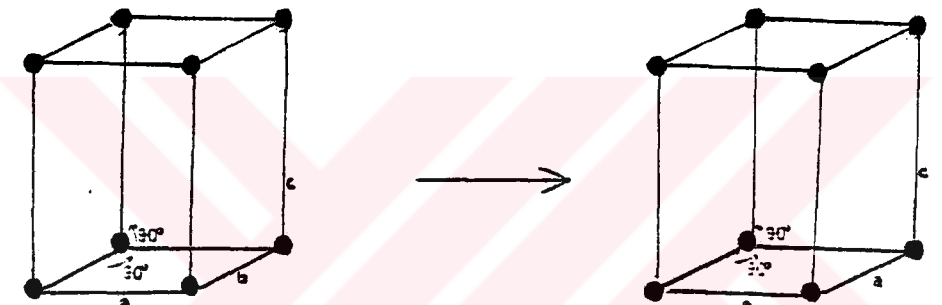
Düşük sıcaklık
kırmızı Cu_2HgI_4
sarı Ag_2HgI_4



Yüksek sıcaklık
kahverengi Cu_2HgI_4
turuncu Ag_2HgI_4

Şekil 4.5. de görüldüğü gibi, $\text{Co}(\text{Py})\text{Cl}_2$ bileşiği tersinmez renk geçisi gösterdi. Termokromik faz geçisi $85-87^{\circ}\text{C}$ te maviyedir.

Şekil 4.6. da görüldüğü gibi $[\text{Co}(\text{NH}_3)_5\text{Cl}] \text{Cl}_2$ bileşığının kristal yapısı tersinmez bir termokromizm gösterdi. Termokromik faz geçisi 190°C te siyah ortorombikten mor tetragonal edir.



Düşük sıcaklık (siyah)
ortorombik

Yüksek sıcaklık (mor)
tetragonal

Bu bileşik çözelti halinde görünür bölge spektrumunda absorbsiyon bantı vermedi.

$\text{Cu}(\text{NH}_3)_2(\text{CH}_3\text{CO}_2)\text{Br}$, $\text{Cu}(\text{NH}_3)_2(\text{CH}_3\text{CO}_2)_2$, $\text{Cu}(\text{C}_5\text{H}_7\text{O}_3)_2$, $\text{Cu}(\text{NH}_3)_2(\text{NO}_2)_2$ kompleks bileşikleri laboratuvar şartlarından dolayı termokromizm göstermediler.

[BM]

= Herhangi bir maddenin manyetik kuvvetidir ve n çiftleşmemiş elektron sayısı ile orantılıdır. $N=\sqrt{n(n+2)}$ formülünden hesaplanır.

[Dq]

= Oktahedral alanda değişik elektron sayılarındaki stabilizasyon enerjisi.

[D'q]

= Tetrahedral alanda değişik elektron sayılarındaki stabilizasyon enerjisi.

Δo

= Oktahedral alandaki ligand alan stabilizasyon enerjisi.

Δt

= Tetrahedral alandaki ligand alan stabilizasyon enerjisi.

E_o

= Oktahedral alandaki stabilizasyon enerjisi.

E_t

= Tetrahedral alandaki stabilizasyon enerjisi.

ΔE

= Stabilizasyon enerjisi farkı $\Delta E = E_o - E_t$

P

= Çiftleşme enerjisi.

KAYNAKLAR

- Anderson, D.N., and Willett, R.D. (1974). Inorg.Chem.Acta. 8, 167.
- Barnes, J.C., and Hume, D. (1963). Inorg.Chem. 2, 444.
- Bartlett, P.D., and Seidel, B. (1961). J.Am.Chem.Soc. 83, 581.
- Blomquist, D.R., and Willett, R.D. (1982). Coord.Chem.Rew. 47, 125.
- Cotton, F.A. (1964). J.of Chem. Edu.
- Day, J.H. (1963). Chem.Rew. 63,65. 41, 466.
- Day, J.H. (1968). Chem.Rew. 68, 649.
- Dickinson, A.C., and Moore, W.J. (1967). J.Phys.Chem. 71, 231.
- Drenth, W., Willemse, C.C., and Vander Kerk, G.K.M. (1964). J. Organometal. Chem. 2, 279.
- Faye, G.H. (1966). Can.J.Chem. 44, 1613.
- Furlani, C., and Mopurgo G. (1963). Theoret.Chim.Acta (Berlin). 1,102.
- Gallais, M.F. (1938). Ann.Chim. 10, 117.
- Gill, N.S., and Nyholm, R.S. (1959). J.Chem.Soc. 3997.
- Gillard, R.D., and Wilkinson, G. (1963). J.Chem. Soc. 5885.
- Goodman, J., Mook, S., and Steigman J. (1965). Clearinghouse for Federal Scientific Technical Information, Report AD-47004.
- Goodman, J., Mook, S., and Grand, S. (1966). Clearinghouse for Federal Science Technical Information, Report AD- 645539.
- Goodman, J., Mook, S., and Grand, S. (1967). Nuclear Research Association Report No. 861 to Naval Air Systems Command.
- Harries, R. (1961). Clearinghouse for Federal Scientific Technical Information, Report AD- 4550104.
- Hatfield, W.E., Piper, T.S., and Klebunde, U. (1963). Inorg Chem. 2,629.
- Hirshberg, Y. (1959). Bull. Res. Council Israel. 8A, 152.

- Houston, E.J. (1871). Chem. News. 177, 188.
- Joos, G., and Klopfer, A. (1954). Z.Physik. 138, 251.
- Ketellar, J.A.A. (1931). Z.Krist. 80, 190.
- Ketellar, J.A.A. (1934). ibid. 87, 436.
- Ketellar, J.A.A. (1934). Z.Physik. Chem. B26, 327.
- Ketellar, J.A.A. (1935). ibid. B30, 53.
- Ketellar, J.A.A. (1938). Trans. Faraday Soc. 34, 874.
- Macarovici, C.G., and Macarovici, M. (1957). Bul.Univ. "V. Babes", "Bolyai". Cluj. Ser.Stiint Nat. 1, 163.
- Marks, A.M., and Marks, M.M. (1965). Britis Patents 3, 236, 651.
- Marlow, R.L., Wells, W.J., Watt, G.W., and Simonsen, S.H. (1974). Inorg. Chem. 13, 2106.
- Miller, F.A., and White, W.B. (1957). Spectrochim Acta. 9, 98.
- Neuhous, A., and Richartz, W. (1958). Angew. Chem. 70, 430.
- Nieuwport, W.C., Wesselink, G.A., and Vander Wee, E.H.A.M. (1966). Rec. Trav. Chim. 85, 397.
- Pfeiffer, P., and Glazer, H. (1938). J.Prakt. Chem. 151, 134.
- Poole, C.P., Jr. (1964). J.Phys.Chem.Solids. 25, 1169.
- Roberts, S.A., Bloomquist, D.R., Willett, R.D., and Dodgen, H.W. (1981). J.Am.Chem.Soc. 103, 2603.
- Scaife, D.E., and Wood, k.P. (1967). 6, 358.
- Schmid, H. (1965). Phys.Chem.Solids. 26, 973.
- Soloway, S., and Mies, S. (1960). Ann.N.Y.Acad. Sci. 88, 239.
- Suchow, L., and Keck, P.H. (1953). J.Am.Chem.Soc. 75, 518.
- Thilo, E., Jender, J., Seemon, H., and Samer, R. (1950). Naturwiss. 37, 399.
- Willett, R.D., Haugen, J.A., Lebsack, J., and Morrey, J. (1974). 13, 2519.
- Willett, R.D.Ferraro, J.R., and Chace, M. (1974). Inorg.Chem. 13, 2919.

Ö Z G E Ç M İ Ş

1965 Malatya doğumluyum. İlk, orta ve liseyi Kırklareli'nde bitirdim. 1988 yılında Hacettepe Üniversitesi Mühendislik Fakültesi Kimya bölümünden mezun oldum. Aynı yıl Trakya Üniversitesi Fen-Edebiyat Fakültesi Kimya Bölümüne Araştırma Görevlisi olarak girdim. Halen bu görevdeyim.